

Siehe ähnliche Dateien: <http://www.ps.bam.de/ZG91/>; www.ps.bam.de/ZG.HTM
Technische Information: <http://www.ps.bam.de> Version 2.1, io=1,1, CIELAB

BAM-Registrierung: 20071001-ZG91/10/L91G00FP.PS/.PDF BAM-Material: Code=rha4ta
- Anwendung für Beurteilung und Messung von Drucker- oder Monitorsystemen

Eingabe: Farbmétrisches Offset-Reflektiv-System ORS18

für Buntton $h^* = lab^*h = 25/360 = 0.069$

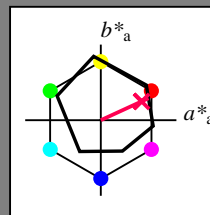
lab*tch und lab*nch

D65: Buntton R

LCH*Ma: 52 69 25

olv*Ma: 1.0 0.0 0.32

Dreiecks-Helligkeit t^*



%Umfang

$$\mathbf{u}_{\text{rel}}^* = 85$$

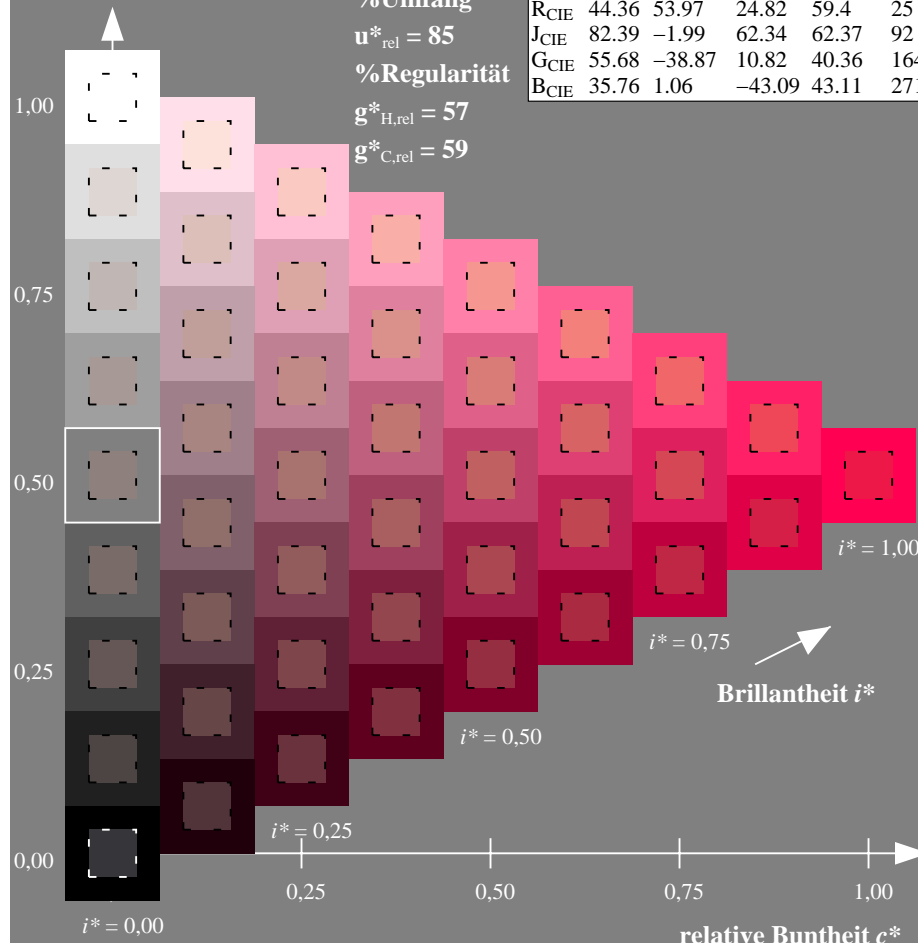
%Regularität

$$g^*_{H,rel} = 57$$

g*_{C rel} = 59

Government	Percentage
Current government	75%
Previous government	25%

ORS18; adaptierte CIELAB-Daten					
	$L^* = L_a^*$	a^*_a	b^*_a	$C^*_{ab,a}$	$h^*_{ab,a}$
O _{Ma}	51.74	60.16	46.48	76.02	38
Y _{Ma}	90.77	-9.44	84.41	84.94	96
L _{Ma}	54.46	-57.8	32.16	66.15	151
C _{Ma}	61.56	-27.91	-41.41	49.95	236
V _{Ma}	31.3	28.61	-40.85	49.88	305
M _{Ma}	51.91	69.26	-7.69	69.68	354
N _{Ma}	24.2	0.0	0.0	0.0	0
W _{Ma}	95.41	0.0	0.0	0.0	0
R _{CIE}	44.36	53.97	24.82	59.4	25
J _{CIE}	82.39	-1.99	62.34	62.37	92
G _{CIE}	55.68	-38.87	10.82	40.36	164
B _{CIE}	35.76	1.06	-43.09	43.11	271



ZG910-7F, 9stufige Reihen für konstanten CIELAB Buntton $25/360 = 0.069$ (links)

Seite 1/24

Ausgabe: Farbmetrisches Offset-Reflektiv-System ORS18

or Buntton $h^* = lab^*h = 25/360 = 0.069$

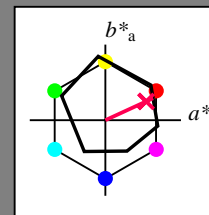
*o*tch* und *lab*nch*

65: Buntton R

CH*Ma: 52 69 25

 $\gamma^*\text{Ma: } 1.0 \quad 0.0 \quad 0.32$

Reiecks-Helligkeit t^*



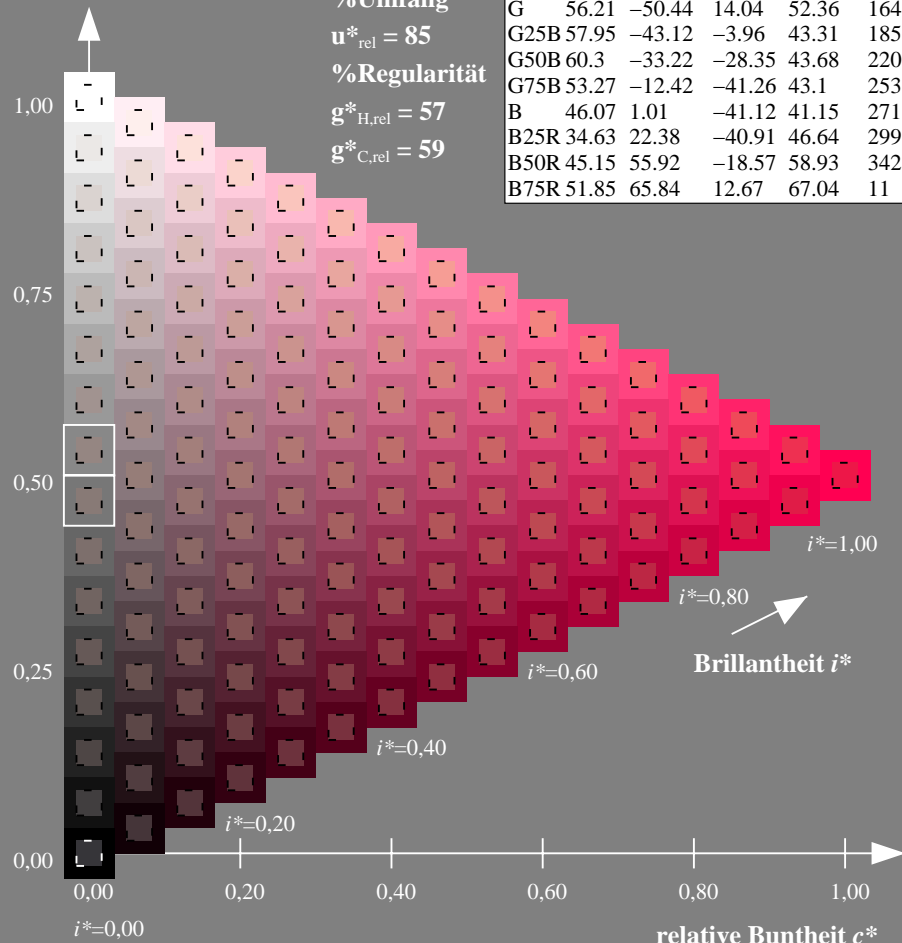
%Umfang

$$\mathbf{u}_{\text{rel}}^* = 85$$

%Regularität

$$g^*_{H,rel} = 57$$
$$g^*_{C_{rel}} = 59$$

ORS18; adaptierte CIELAB-Daten					
	$L^*_a = L^*_a$	a^*_a	b^*_a	$C^*_{ab,a}$	$h^*_{ab,a}$
R	51.79	63.09	29.02	69.44	25
R25J	53.73	56.6	48.42	74.48	41
R50J	65.47	35.67	59.82	69.65	59
R75J	76.51	15.98	70.55	72.34	77
J	86.93	-2.58	80.67	80.71	92
J25G	84.92	-17.23	75.99	77.92	103
J50G	73.11	-32.96	59.0	67.58	119
J75G	60.06	-50.34	40.22	64.44	141
G	56.21	-50.44	14.04	52.36	164
G25B	57.95	-43.12	-3.96	43.31	185
G50B	60.3	-33.22	-28.35	43.68	220
G75B	53.27	-12.42	-41.26	43.1	253
B	46.07	1.01	-41.12	41.15	271
B25R	34.63	22.38	-40.91	46.64	299
B50R	45.15	55.92	-18.57	58.93	342
B75R	51.85	65.84	12.67	67.04	411

ZG910-7F, 16stufige Reihen für konstanten CIELAB Buntton $25/360 = 0.069$ (rechts)

BAM-Prüfvorlage ZG91; Farbmimetrik-Systeme, Seite 1/24 Eingabe: *rgb / cmy0 set(rgb/cmyk)color*
D65: 9 und 16stufige Farbreihen für 4 Elementar-Bunttöne Ausgabe: keine Eingabeänderung

Eingabe: *rgb / cmy0 set(rgb/cmyk*
Ausgabe: keine Eingabeänderung

Siehe ähnliche Dateien: <http://www.ps.bam.de/ZG91/>; www.ps.bam.de/ZG.HTM
Technische Information: <http://www.ps.bam.de> Version 2.1, io=1,1, CIELAB

BAM-Registrierung: 20071001-ZG91/10/L91G00FP.PS/.PDF BAM-Material: Code=rha4ta
Anwendung für Beurteilung und Messung von Drucker- oder Monitorsystemen

Eingabe: Farbmétrisches Offset-Reflektiv-System ORS18

für Buntton $h^* = lab^*h = 92/360 = 0.255$

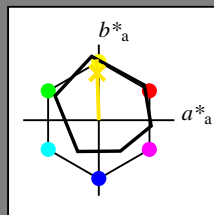
*lab*tch* und *lab*nch*

D65: Buntton J

LCH*Ma: 87 81 92

olv*Ma: 1.0 0.9 0.0

Dreiecks-Helligkeit t^*



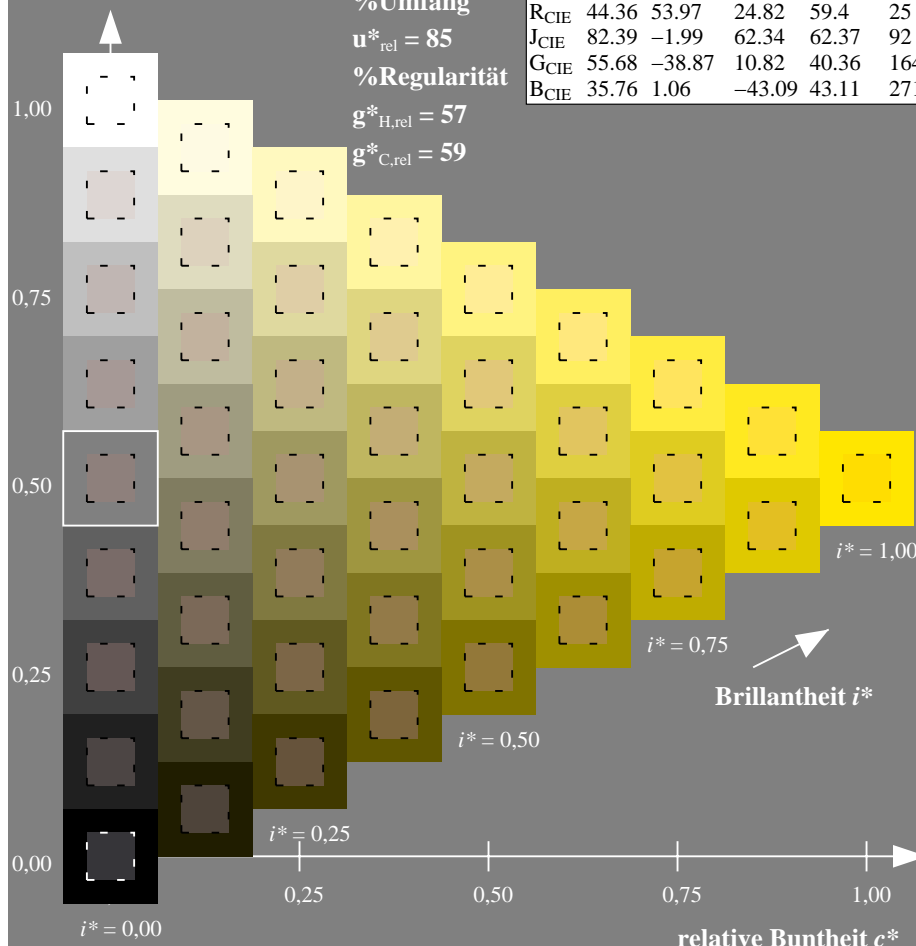
%Umfang

$$\mathbf{u}_{\text{rel}}^* = 85$$

%Regularität

$$g^*_{H_{rel}} = 57$$

g*_{C rel} = 59

ZG910-7F, 9stufige Reihen für konstanten CIELAB Buntton $92/360 = 0.255$ (links)

Seite 2/24

Ausgabe: Farbmetrisches Offset-Reflektiv-System ORS18

für Buntton $h^* = lab^*h = 92/360 = 0.255$

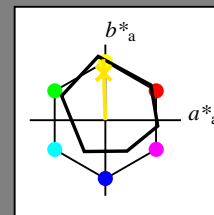
lab*tch und lab*nch

D65: Buntton J

LCH*Ma: 87 81 92

olv*Ma: 1.0 0.9 0.0

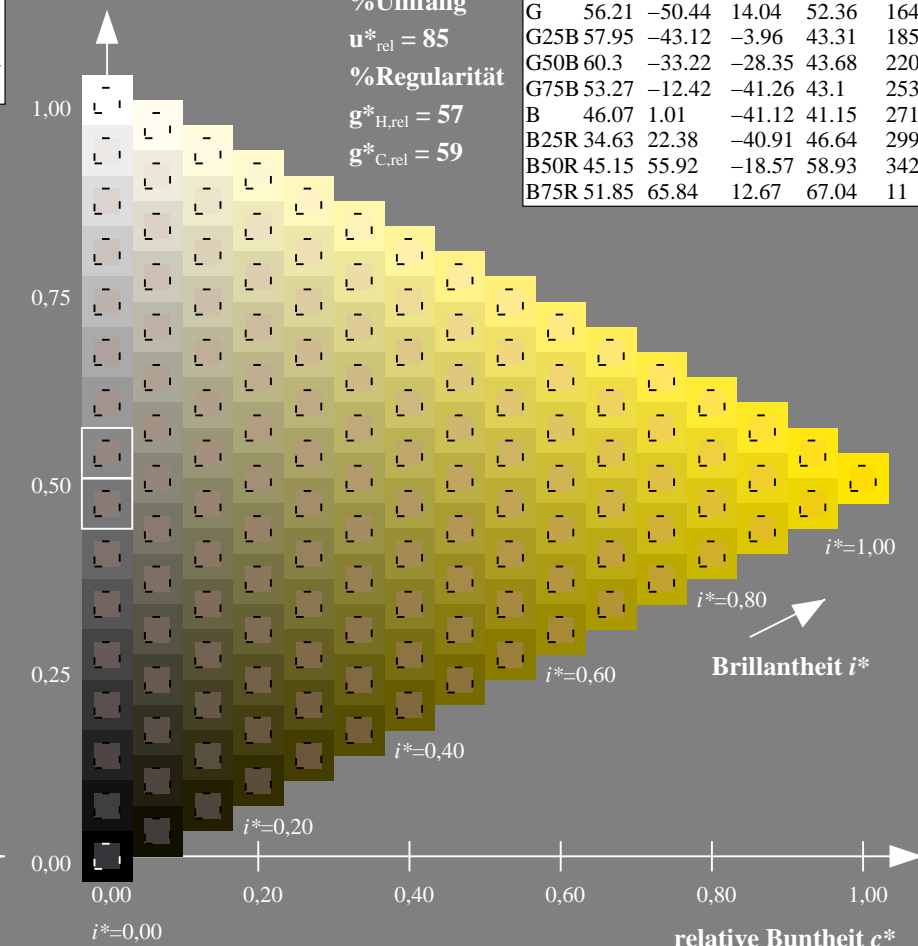
Dreiecks-Helligkeit t^*



%Umfang

$$\mathbf{u}_{\text{rel}}^* = 85$$

%Regularität

$$g^*_{H_{rel}} = 57$$
$$\mathbf{g}_{\text{C}_{\text{rel}}}^* = 59$$


ZG910-7F, 16stufige Reihen für konstanten CIELAB Buntton $92/360 = 0.255$ (rechts)

BAM-Prüfvorlage ZG91; Farbmatrik-Systeme, Seite 2/24 Eingabe: *rgb / cmy0 set(rgb/cmyk)color*
D65: 9 und 16stufige Farbreihen für 4 Elementar-Bunttöne Ausgabe: keine Eingabeänderung

Eingabe: *rgb / cmy0 set(rgb/cmyk*
Ausgabe: keine Eingabeänderung

Siehe ähnliche Dateien: <http://www.ps.bam.de/ZG91/>; www.ps.bam.de/ZG.HTM
Technische Information: <http://www.ps.bam.de> Version 2.1, io=1,1, CIELAB

BAM-Registrierung: 20071001-ZG91/10/L91G00FP.PS/.PDF BAM-Material: Code=rha4ta
Anwendung für Beurteilung und Messung von Drucker- oder Monitorsystemen

Eingabe: Farbmétrisches Offset-Reflektiv-System ORS18

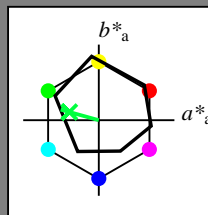
für Buntton $h^* = lab^*h = 164/360 = 0.457$

*lab*tch* und *lab*nch*

D65: Buntton G

LCH*Ma: 56 52 164

olv*Ma: 0.0 1.0 0.25



Dreiecks-Helligkeit t^*

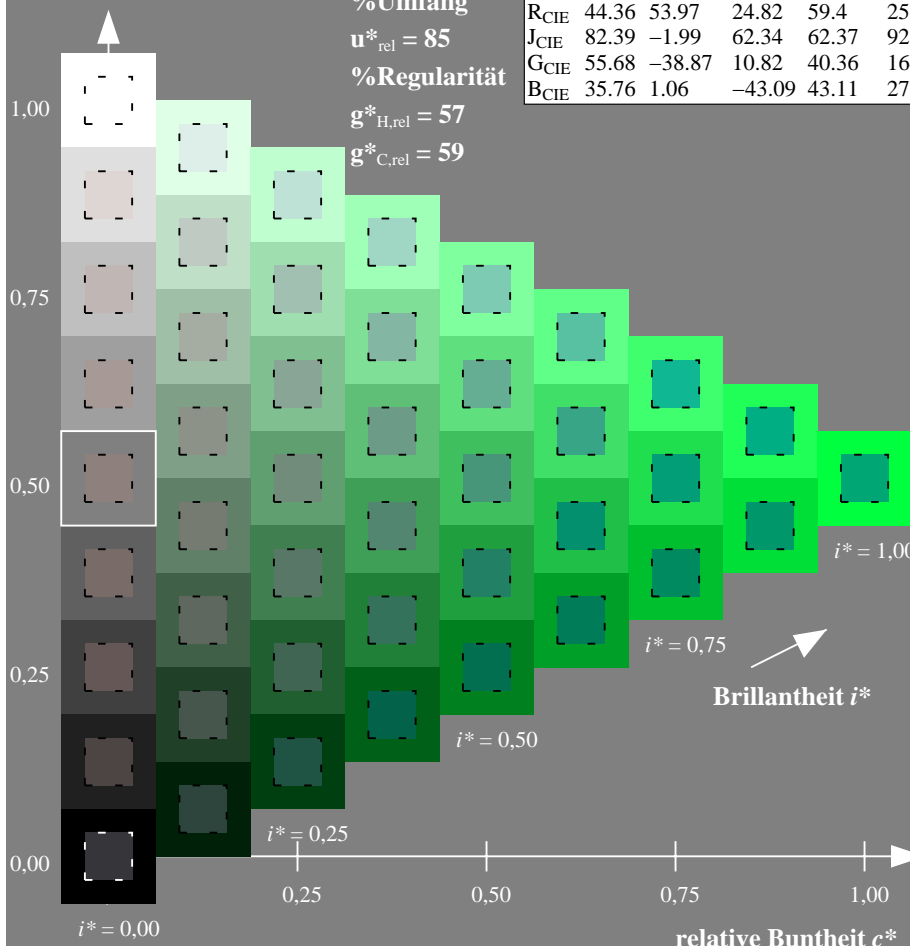
%Umfang

$$\mathbf{u}_{\text{rel}}^* = 85$$

%Regularität

$$g^*_{H_{rel}} = 57$$

$g^*_{C_{rel}} = 59$



ZG910–7F, 9stufige Reihen für konstanten CIELAB Buntton $164/360 = 0.457$ (links)

Seite 3/24

ZG910-7F, 16stufige Reihen für konstanten CIELAB Buntton $164/360 = 0.457$ (rechts)

BAM-Prüfvorlage ZG91; Farbmatrik-Systeme, Seite 3/24 Eingabe: *rgb / cmy0 set(rgb/cmyk)color*
D65: 9 und 16stufige Farbreihen für 4 Elementar-Bunttöne Ausgabe: keine Eingabeänderung

Ausgabe: Farbmétrisches Offset-Reflektiv-System ORS18

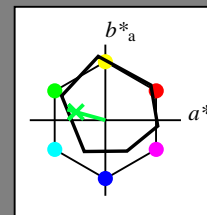
für Buntton $h^* = lab^*h = 164/360 = 0.457$

lab*tch und lab*nch

D65: Buntton G

LCH*Ma: 56 52 164

olv*Ma: 0.0 1.0 0.25

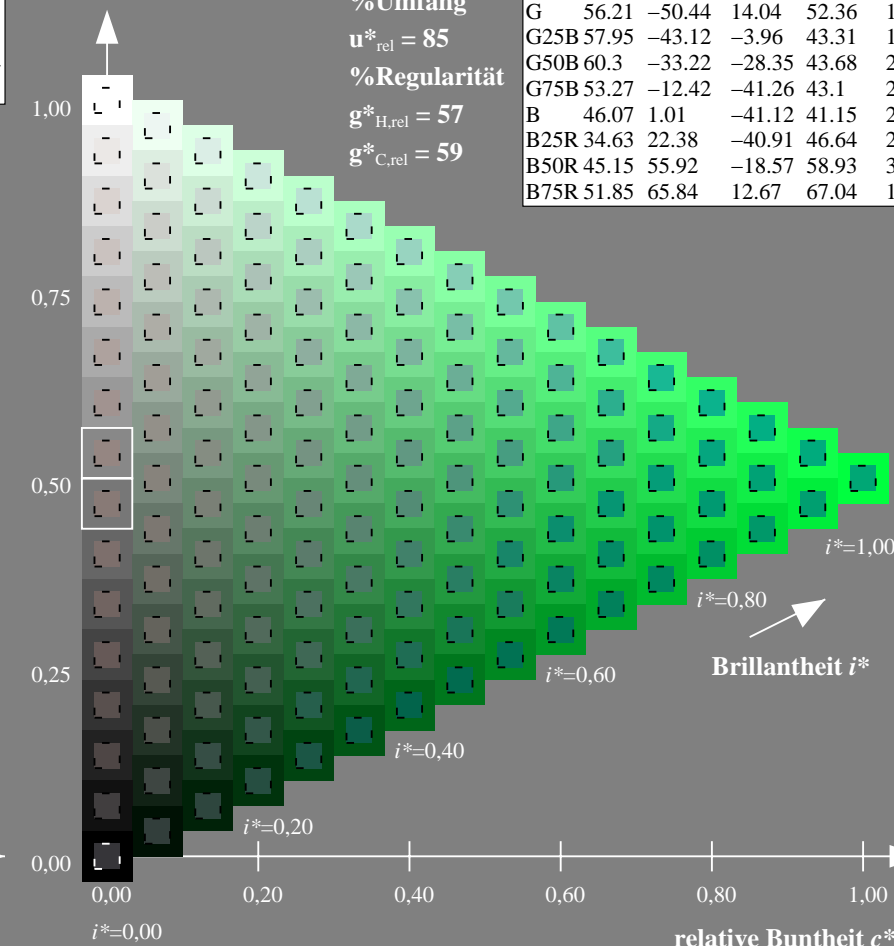


Dreiecks-Helligkeit t^*

%Umfang

$$\mathbf{u}_{\text{rel}}^* = 85$$

%Regularität

$$g^*_{H_{rel}} = 57$$
$$g^*_{C_{rel}} = 59$$


ZG910-7F, 16stufige Reihen für konstanten CIELAB Buntton $164/360 = 0.457$ (rechts)

BAM-Prüfvorlage ZG91; Farbmatrik-Systeme, Seite 3/24 Eingabe: *rgb / cmy0 set(rgb/cmyk)color*
D65: 9 und 16stufige Farbreihen für 4 Elementar-Bunttöne Ausgabe: keine Eingabeänderung

Eingabe: Farbmétrisches Offset-Reflektiv-System ORS18

für Buntton $h^* = lab^*h = 271/360 = 0.754$

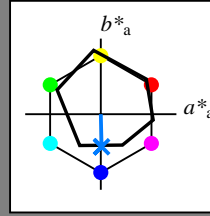
*lab*tch* und *lab*nch*

D65: Buntton B

LCH*Ma: 46 41 271

olv*Ma: 0.0 0.49 1.0

Dreiecks-Helligkeit t^*



%Umfang

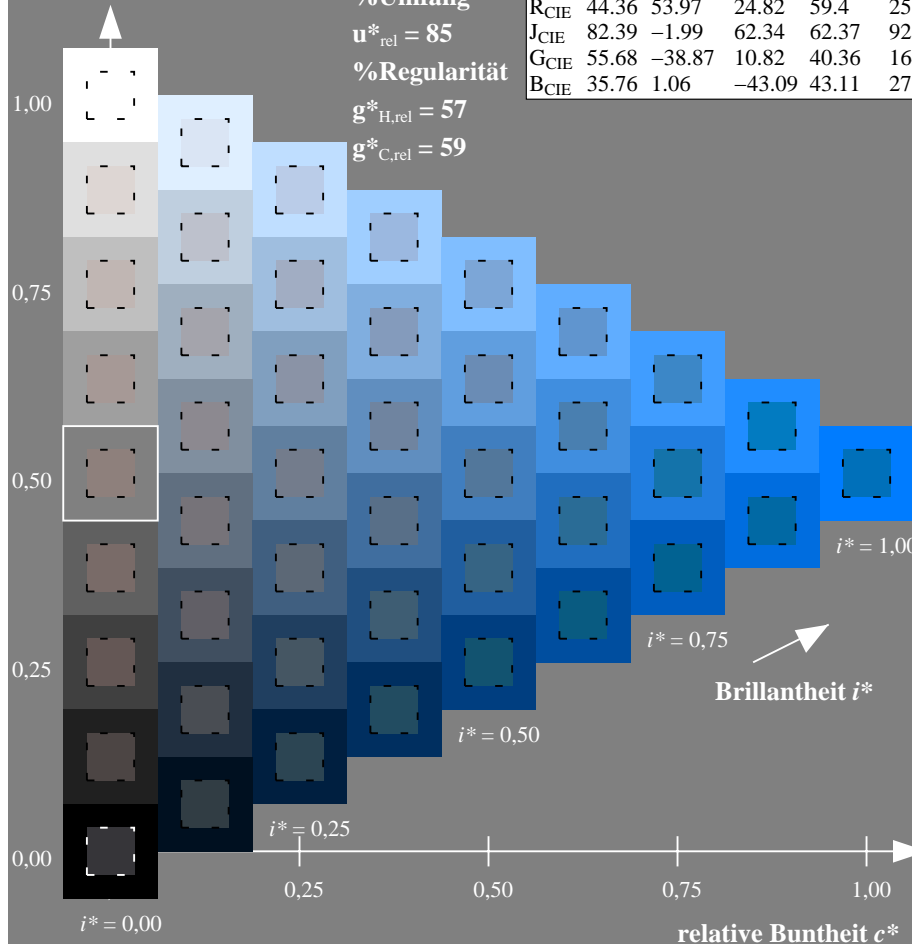
$$\mathbf{u}_{\text{rel}}^* = 85$$

%Regularität

$$g^*_{H,rel} = 57$$

$g^*_{C,rel} = 59$

Response	Percentage
Doing a good job	65%
Not doing a good job	35%



ZG910–7F, 9stufige Reihen für konstanten CIELAB Buntton $271/360 = 0.754$ (links)

Seite 4/24

ZG910-7F, 16stufige Reihen für konstanten CIELAB Buntton $271/360 = 0.754$ (rechts)

BAM-Prüfvorlage ZG91; Farbmimetrik-Systeme, Seite 4/24 Eingabe: *rgb / cmy0 set(rgb/cmyk)color*
D65: 9 und 16stufige Farbreihen für 4 Elementar-Bunttöne Ausgabe: keine Eingabeänderung

BAM-Prüfvorlage ZG91; Farbmimetrik-Systeme, Seite 4/24 Eingabe: *rgb / cmy0 set(rgb/cmyk)color*
D65: 9 und 16stufige Farbreihen für 4 Elementar-Bunttöne Ausgabe: keine Eingabeänderung

Ausgabe: Farbmétrisches Offset-Reflektiv-System ORS18

für Buntton $h^* = lab^*h = 271/360 = 0.754$

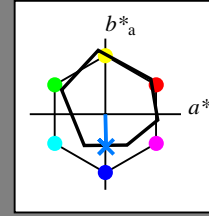
lab*tch* und *lab*nch

D65: Buntton B

LCH*Ma: 46 41 271

olv*Ma: 0.0 0.49 1.0

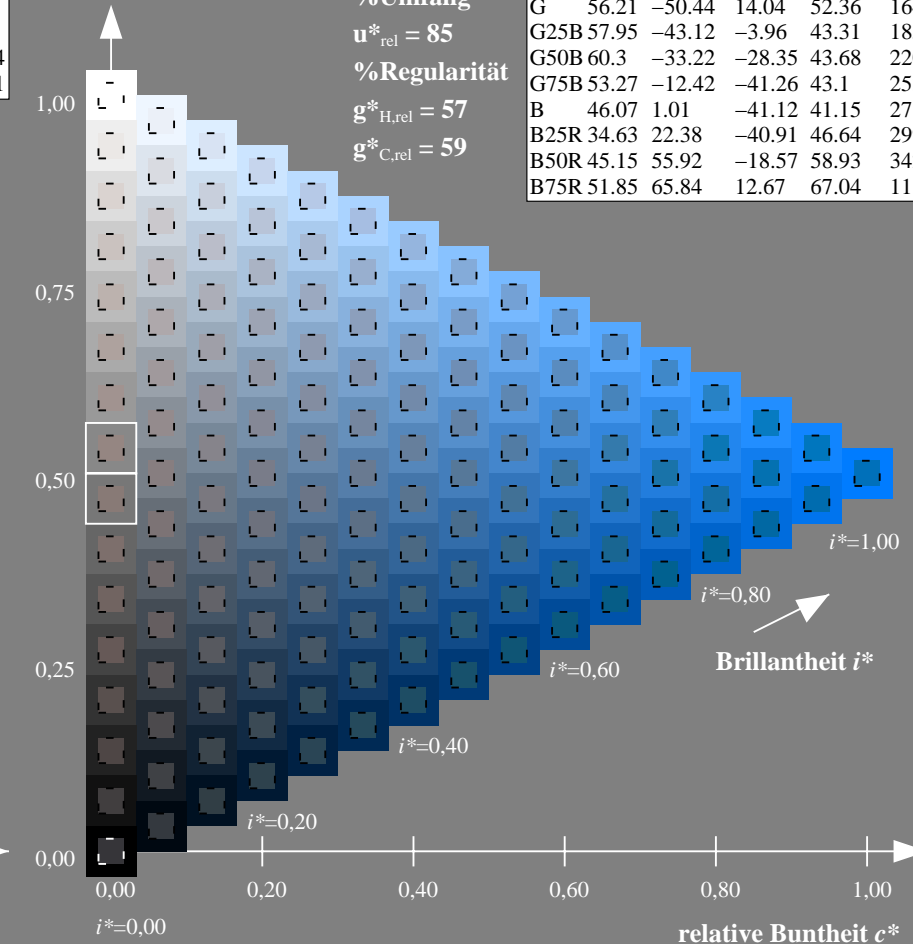
Dreiecks-Helligkeit t^*



%Umfang

$$\mathbf{u}_{\text{rel}}^* = 85$$

%Regularität

$$g^*_{H,rel} = 57$$
$$g^*_{C,rel} = 59$$


ZG910-7F, 16stufige Reihen für konstanten CIELAB Buntton $271/360 = 0.754$ (rechts)

ZG910-7F, 16stufige Reihen für konstanten CIELAB Buntton $271/360 = 0.754$ (rechts)

BAM-Prüfvorlage ZG91; Farbmimetrik-Systeme, Seite 4/24 Eingabe: *rgb / cmy0 set(rgb/cmyk)color*
D65: 9 und 16stufige Farbreihen für 4 Elementar-Bunttöne Ausgabe: keine Eingabeänderung

BAM-Prüfvorlage ZG91; Farbmimetrik-Systeme, Seite 4/24 Eingabe: *rgb / cmy0 set(rgb/cmyk)color*
D65: 9 und 16stufige Farbreihen für 4 Elementar-Bunttöne Ausgabe: keine Eingabeänderung

Eingabe: Farbmimetrisches Offset-Reflektiv-System ORS18

für Buntton $h^* = lab^*h = 25/360 = 0.069$

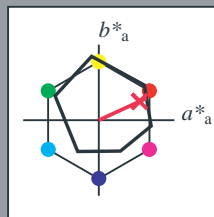
lab^*tch und lab^*nch

D65: Buntton R

LCH*Ma: 52 69 25

olv*Ma: 1.0 0.0 0.32

Dreiecks-Helligkeit t^*



%Umfang

$u^*_{rel} = 85$

%Regularität

$g^*_{H,rel} = 57$

$g^*_{C,rel} = 59$

ORS18; adaptierte CIELAB-Daten

	$L^*=L^*_a$	a^*_a	b^*_a	$C^*_{ab,a}$	$h^*_{ab,a}$
O _{Ma}	51.74	60.16	46.48	76.02	38
Y _{Ma}	90.77	-9.44	84.41	84.94	96
L _{Ma}	54.46	-57.8	32.16	66.15	151
C _{Ma}	61.56	-27.91	-41.41	49.95	236
V _{Ma}	31.3	28.61	-40.85	49.88	305
M _{Ma}	51.91	69.26	-7.69	69.68	354
N _{Ma}	24.2	0.0	0.0	0.0	0
W _{Ma}	95.41	0.0	0.0	0.0	0
R _{CIE}	44.36	53.97	24.82	59.4	25
J _{CIE}	82.39	-1.99	62.34	62.37	92
G _{CIE}	55.68	-38.87	10.82	40.36	164
B _{CIE}	35.76	1.06	-43.09	43.11	271

Ausgabe: Farbmimetrisches Offset-Reflektiv-System ORS18

für Buntton $h^* = lab^*h = 25/360 = 0.069$

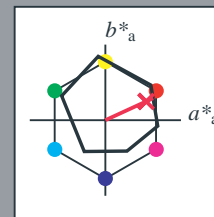
lab^*tch und lab^*nch

D65: Buntton R

LCH*Ma: 52 69 25

olv*Ma: 1.0 0.0 0.32

Dreiecks-Helligkeit t^*



%Umfang

$u^*_{rel} = 85$

%Regularität

$g^*_{H,rel} = 57$

$g^*_{C,rel} = 59$

ORS18; adaptierte CIELAB-Daten

	$L^*=L^*_a$	a^*_a	b^*_a	$C^*_{ab,a}$	$h^*_{ab,a}$
R	51.79	63.09	29.02	69.44	25
R25J	53.73	56.6	48.42	74.48	41
R50J	65.47	35.67	59.82	69.65	59
R75J	76.51	15.98	70.55	72.34	77
J	86.93	-2.58	80.67	80.71	92
J25G	84.92	-17.23	75.99	77.92	103
J50G	73.11	-32.96	59.0	67.58	119
J75G	60.06	-50.34	40.22	64.44	141
G	56.21	-50.44	14.04	52.36	164
G25B	57.95	-43.12	-3.96	43.31	185
G50B	60.3	-33.22	-28.35	43.68	220
G75B	53.27	-12.42	-41.26	43.1	253
B	46.07	1.01	-41.12	41.15	271
B25R	34.63	22.38	-40.91	46.64	299
B50R	45.15	55.92	-18.57	58.93	342
B75R	51.85	65.84	12.67	67.04	11

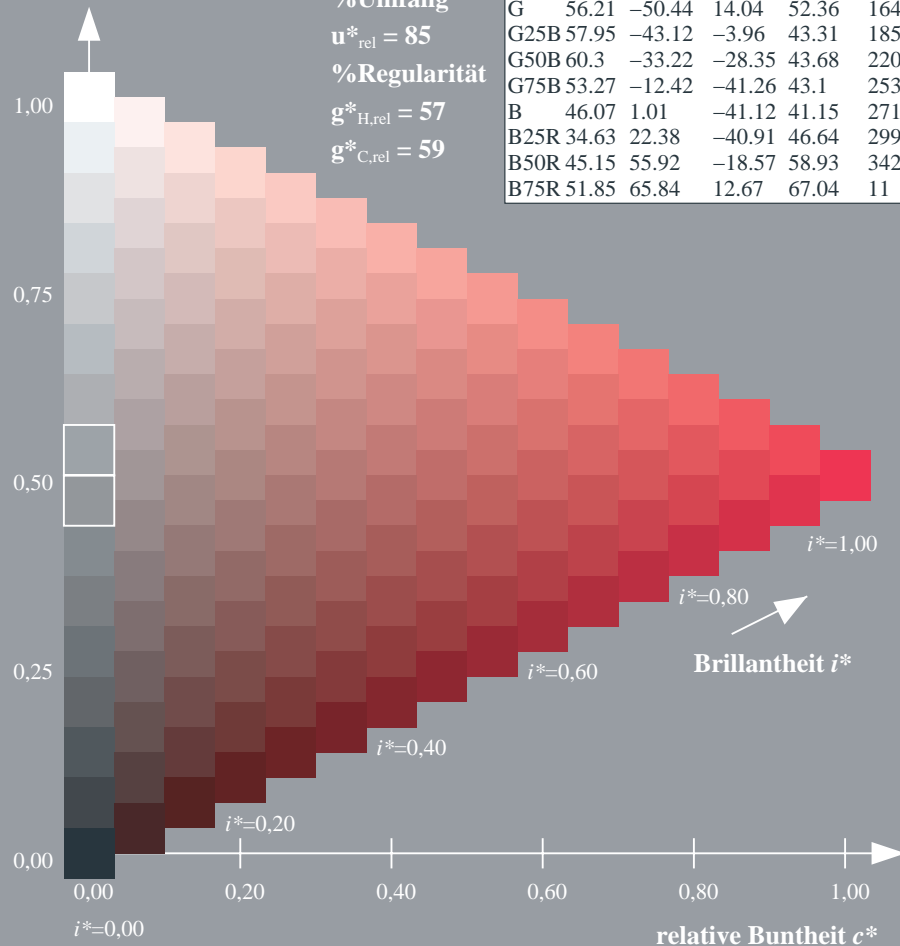
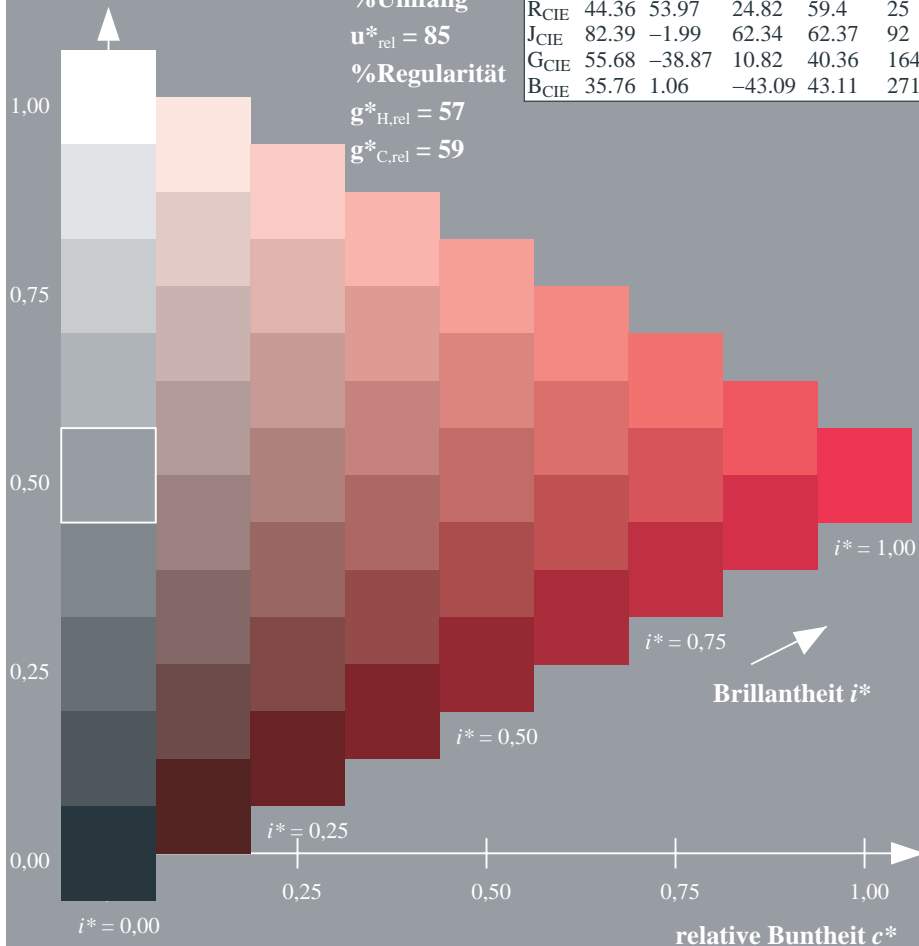
%Umfang

$u^*_{rel} = 85$

%Regularität

$g^*_{H,rel} = 57$

$g^*_{C,rel} = 59$



ZG910-7F, 9stufige Reihen für konstanten CIELAB Buntton 25/360 = 0.069 (links)

Seite 5/24

ZG910-7F, 16stufige Reihen für konstanten CIELAB Buntton 25/360 = 0.069 (rechts)

BAM-Prüfvorlage ZG91; Farbmimetrik-Systeme, Seite 5/24 Eingabe: $rgb / cmy0$ set($rgb/cmyk$)color

D65: 9 und 16stufige Farbreihen für 4 Elementar-Bunttöne Ausgabe: $\rightarrow LAB^* \rightarrow cmy5^*$ set($cmyk$)color

Eingabe: Farbmimetrisches Offset-Reflektiv-System ORS18

für Buntton $h^* = lab^*h = 92/360 = 0.255$

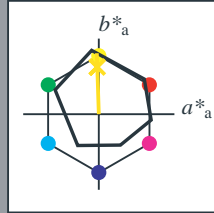
lab^*tch und lab^*nch

D65: Buntton J

LCH*Ma: 87 81 92

olv*Ma: 1.0 0.9 0.0

Dreiecks-Helligkeit t^*



%Umfang

$u^*_{rel} = 85$

%Regularität

$g^*_{H,rel} = 57$

$g^*_{C,rel} = 59$

ORS18; adaptierte CIELAB-Daten	$L^*=L^*_a$	a^*_a	b^*_a	$C^*_{ab,a}$	$h^*_{ab,a}$
O _{Ma}	51.74	60.16	46.48	76.02	38
Y _{Ma}	90.77	-9.44	84.41	84.94	96
L _{Ma}	54.46	-57.8	32.16	66.15	151
C _{Ma}	61.56	-27.91	-41.41	49.95	236
V _{Ma}	31.3	28.61	-40.85	49.88	305
M _{Ma}	51.91	69.26	-7.69	69.68	354
N _{Ma}	24.2	0.0	0.0	0.0	0
W _{Ma}	95.41	0.0	0.0	0.0	0
R _{CIE}	44.36	53.97	24.82	59.4	25
J _{CIE}	82.39	-1.99	62.34	62.37	92
G _{CIE}	55.68	-38.87	10.82	40.36	164
B _{CIE}	35.76	1.06	-43.09	43.11	271

Ausgabe: Farbmimetrisches Offset-Reflektiv-System ORS18

für Buntton $h^* = lab^*h = 92/360 = 0.255$

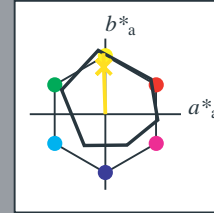
lab^*tch und lab^*nch

D65: Buntton J

LCH*Ma: 87 81 92

olv*Ma: 1.0 0.9 0.0

Dreiecks-Helligkeit t^*



%Umfang

$u^*_{rel} = 85$

%Regularität

$g^*_{H,rel} = 57$

$g^*_{C,rel} = 59$

ORS18; adaptierte CIELAB-Daten	$L^*=L^*_a$	a^*_a	b^*_a	$C^*_{ab,a}$	$h^*_{ab,a}$
R	51.79	63.09	29.02	69.44	25
R25J	53.73	56.6	48.42	74.48	41
R50J	65.47	35.67	59.82	69.65	59
R75J	76.51	15.98	70.55	72.34	77
J	86.93	-2.58	80.67	80.71	92
J25G	84.92	-17.23	75.99	77.92	103
J50G	73.11	-32.96	59.0	67.58	119
J75G	60.06	-50.34	40.22	64.44	141
G	56.21	-50.44	14.04	52.36	164
G25B	57.95	-43.12	-3.96	43.31	185
G50B	60.3	-33.22	-28.35	43.68	220
G75B	53.27	-12.42	-41.26	43.1	253
B	46.07	1.01	-41.12	41.15	271
B25R	34.63	22.38	-40.91	46.64	299
B50R	45.15	55.92	-18.57	58.93	342
B75R	51.85	65.84	12.67	67.04	11

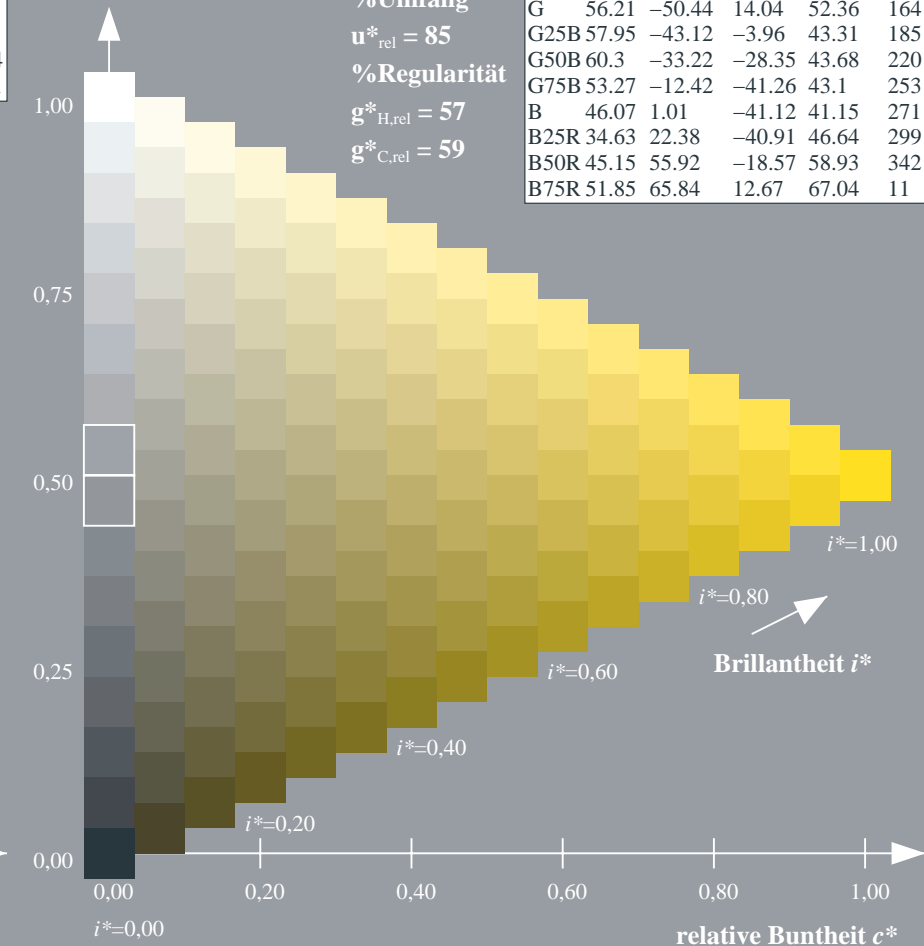
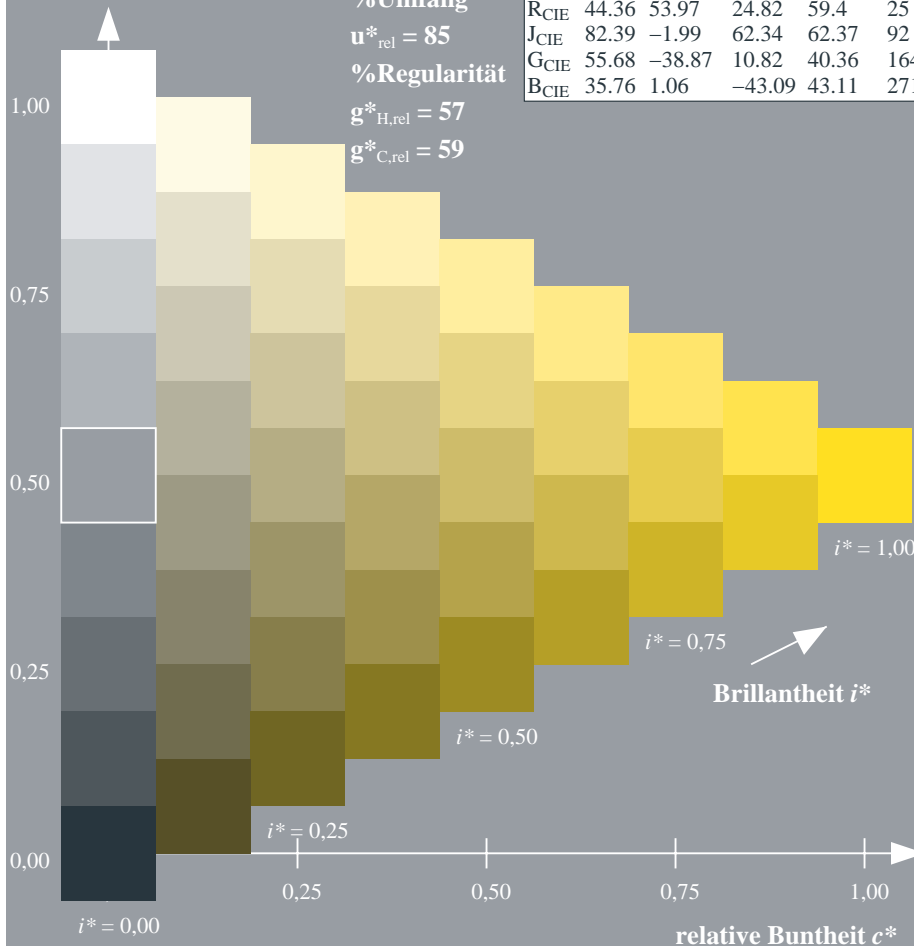
%Umfang

$u^*_{rel} = 85$

%Regularität

$g^*_{H,rel} = 57$

$g^*_{C,rel} = 59$



ZG910-7F, 9stufige Reihen für konstanten CIELAB Buntton 92/360 = 0.255 (links)

Seite 6/24

ZG910-7F, 16stufige Reihen für konstanten CIELAB Buntton 92/360 = 0.255 (rechts)

BAM-Prüfvorlage ZG91; Farbmimetrik-Systeme, Seite 6/24 Eingabe: $rgb / cmy0 set(rgb/cmyk)color$

D65: 9 und 16stufige Farbreihen für 4 Elementar-Bunttöne Ausgabe: $->LAB^*->cmy5^* setcmykcolo$

BAM-Registrierung: 20071001-ZG91/10L/L91G00FP.PS/.PDF BAM-Material: Code=rh4ta
Anwendung für Beurteilung und Messung von Drucker- oder Monitorsystemen

Eingabe: Farbmimetrisches Offset-Reflektiv-System ORS18

für Buntton $h^* = lab^*h = 164/360 = 0.457$

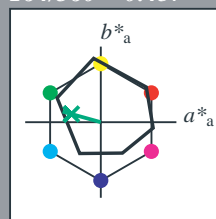
lab^*tch und lab^*nch

D65: Buntton G

LCH*Ma: 56 52 164

olv*Ma: 0.0 1.0 0.25

Dreiecks-Helligkeit t^*



%Umfang

$u^*_{rel} = 85$

%Regularität

$g^*_{H,rel} = 57$

$g^*_{C,rel} = 59$

ORS18; adaptierte CIELAB-Daten					
	$L^*=L^*_a$	a^*_a	b^*_a	$C^*_{ab,a}$	$h^*_{ab,a}$
O _{Ma}	51.74	60.16	46.48	76.02	38
Y _{Ma}	90.77	-9.44	84.41	84.94	96
L _{Ma}	54.46	-57.8	32.16	66.15	151
C _{Ma}	61.56	-27.91	-41.41	49.95	236
V _{Ma}	31.3	28.61	-40.85	49.88	305
M _{Ma}	51.91	69.26	-7.69	69.68	354
N _{Ma}	24.2	0.0	0.0	0.0	0
W _{Ma}	95.41	0.0	0.0	0.0	0
R _{CIE}	44.36	53.97	24.82	59.4	25
J _{CIE}	82.39	-1.99	62.34	62.37	92
G _{CIE}	55.68	-38.87	10.82	40.36	164
B _{CIE}	35.76	1.06	-43.09	43.11	271

Ausgabe: Farbmimetrisches Offset-Reflektiv-System ORS18

für Buntton $h^* = lab^*h = 164/360 = 0.457$

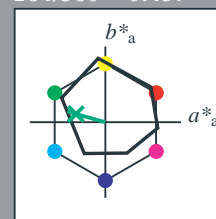
lab^*tch und lab^*nch

D65: Buntton G

LCH*Ma: 56 52 164

olv*Ma: 0.0 1.0 0.25

Dreiecks-Helligkeit t^*



%Umfang

$u^*_{rel} = 85$

%Regularität

$g^*_{H,rel} = 57$

$g^*_{C,rel} = 59$

ORS18; adaptierte CIELAB-Daten					
	$L^*=L^*_a$	a^*_a	b^*_a	$C^*_{ab,a}$	$h^*_{ab,a}$
R	51.79	63.09	29.02	69.44	25
R25J	53.73	56.6	48.42	74.48	41
R50J	65.47	35.67	59.82	69.65	59
R75J	76.51	15.98	70.55	72.34	77
J	86.93	-2.58	80.67	80.71	92
J25G	84.92	-17.23	75.99	77.92	103
J50G	73.11	-32.96	59.0	67.58	119
J75G	60.06	-50.34	40.22	64.44	141
G	56.21	-50.44	14.04	52.36	164
G25B	57.95	-43.12	-3.96	43.31	185
G50B	60.3	-33.22	-28.35	43.68	220
G75B	53.27	-12.42	-41.26	43.1	253
B	46.07	1.01	-41.12	41.15	271
B25R	34.63	22.38	-40.91	46.64	299
B50R	45.15	55.92	-18.57	58.93	342
B75R	51.85	65.84	12.67	67.04	11

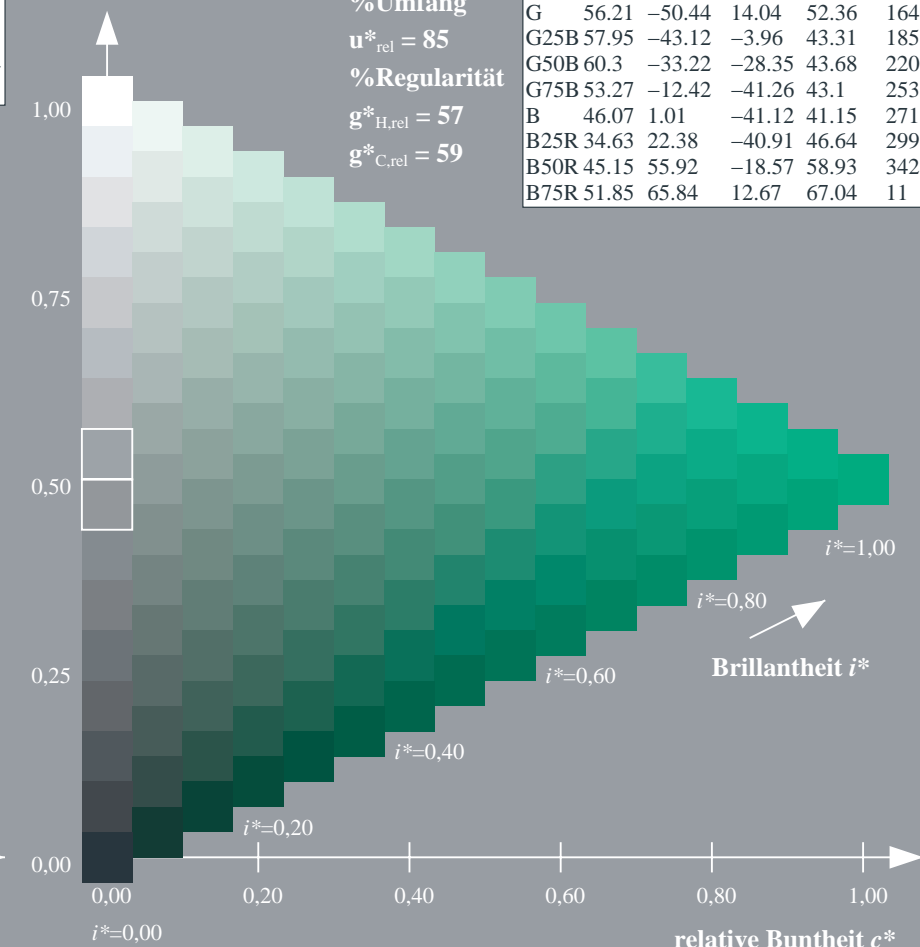
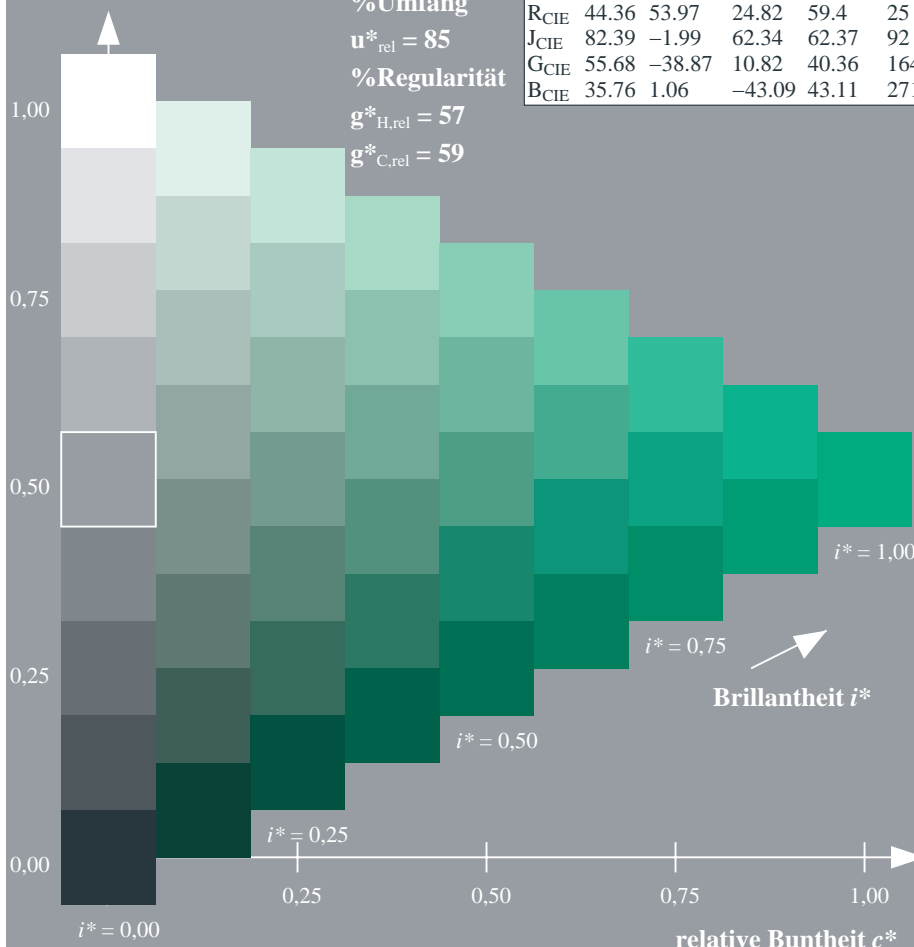
%Umfang

$u^*_{rel} = 85$

%Regularität

$g^*_{H,rel} = 57$

$g^*_{C,rel} = 59$



ZG910-7F, 9stufige Reihen für konstanten CIELAB Buntton 164/360 = 0.457 (links)

Seite 7/24

ZG910-7F, 16stufige Reihen für konstanten CIELAB Buntton 164/360 = 0.457 (rechts)

BAM-Prüfvorlage ZG91; Farbmimetrik-Systeme, Seite 7/24 Eingabe: $rgb / cmy0 set(rgb/cmyk)color$

D65: 9 und 16stufige Farbreihen für 4 Elementar-Bunttöne Ausgabe: $->LAB^*->cmy5^* setcmykcolo$

BAM-Registrierung: 20071001-ZG91/10L/L91G00FP.PS/.PDF BAM-Material: Code=rh4ta
Anwendung für Beurteilung und Messung von Drucker- oder Monitorsystemen

Eingabe: Farbmétrisches Offset-Reflektiv-System ORS18

für Buntton $h^* = lab^*h = 271/360 = 0.754$

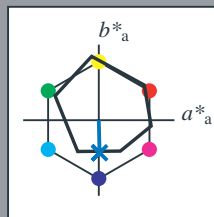
lab^*tch und lab^*nch

D65: Buntton B

LCH*Ma: 46 41 271

olv*Ma: 0.0 0.49 1.0

Dreiecks-Helligkeit t^*



%Umfang

$u^*_{rel} = 85$

%Regularität

$g^*_{H,rel} = 57$

$g^*_{C,rel} = 59$

ORS18; adaptierte CIELAB-Daten					
	$L^*=L^*_a$	a^*_a	b^*_a	$C^*_{ab,a}$	$h^*_{ab,a}$
O _{Ma}	51.74	60.16	46.48	76.02	38
Y _{Ma}	90.77	-9.44	84.41	84.94	96
L _{Ma}	54.46	-57.8	32.16	66.15	151
C _{Ma}	61.56	-27.91	-41.41	49.95	236
V _{Ma}	31.3	28.61	-40.85	49.88	305
M _{Ma}	51.91	69.26	-7.69	69.68	354
N _{Ma}	24.2	0.0	0.0	0.0	0
W _{Ma}	95.41	0.0	0.0	0.0	0
R _{CIE}	44.36	53.97	24.82	59.4	25
J _{CIE}	82.39	-1.99	62.34	62.37	92
G _{CIE}	55.68	-38.87	10.82	40.36	164
B _{CIE}	35.76	1.06	-43.09	43.11	271

Ausgabe: Farbmétrisches Offset-Reflektiv-System ORS18

für Buntton $h^* = lab^*h = 271/360 = 0.754$

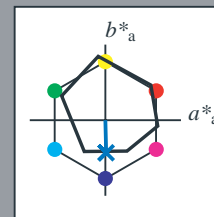
lab^*tch und lab^*nch

D65: Buntton B

LCH*Ma: 46 41 271

olv*Ma: 0.0 0.49 1.0

Dreiecks-Helligkeit t^*



%Umfang

$u^*_{rel} = 85$

%Regularität

$g^*_{H,rel} = 57$

$g^*_{C,rel} = 59$

ORS18; adaptierte CIELAB-Daten					
	$L^*=L^*_a$	a^*_a	b^*_a	$C^*_{ab,a}$	$h^*_{ab,a}$
R	51.79	63.09	29.02	69.44	25
R25J	53.73	56.6	48.42	74.48	41
R50J	65.47	35.67	59.82	69.65	59
R75J	76.51	15.98	70.55	72.34	77
J	86.93	-2.58	80.67	80.71	92
J25G	84.92	-17.23	75.99	77.92	103
J50G	73.11	-32.96	59.0	67.58	119
J75G	60.06	-50.34	40.22	64.44	141
G	56.21	-50.44	14.04	52.36	164
G25B	57.95	-43.12	-3.96	43.31	185
G50B	60.3	-33.22	-28.35	43.68	220
G75B	53.27	-12.42	-41.26	43.1	253
B	46.07	1.01	-41.12	41.15	271
B25R	34.63	22.38	-40.91	46.64	299
B50R	45.15	55.92	-18.57	58.93	342
B75R	51.85	65.84	12.67	67.04	11

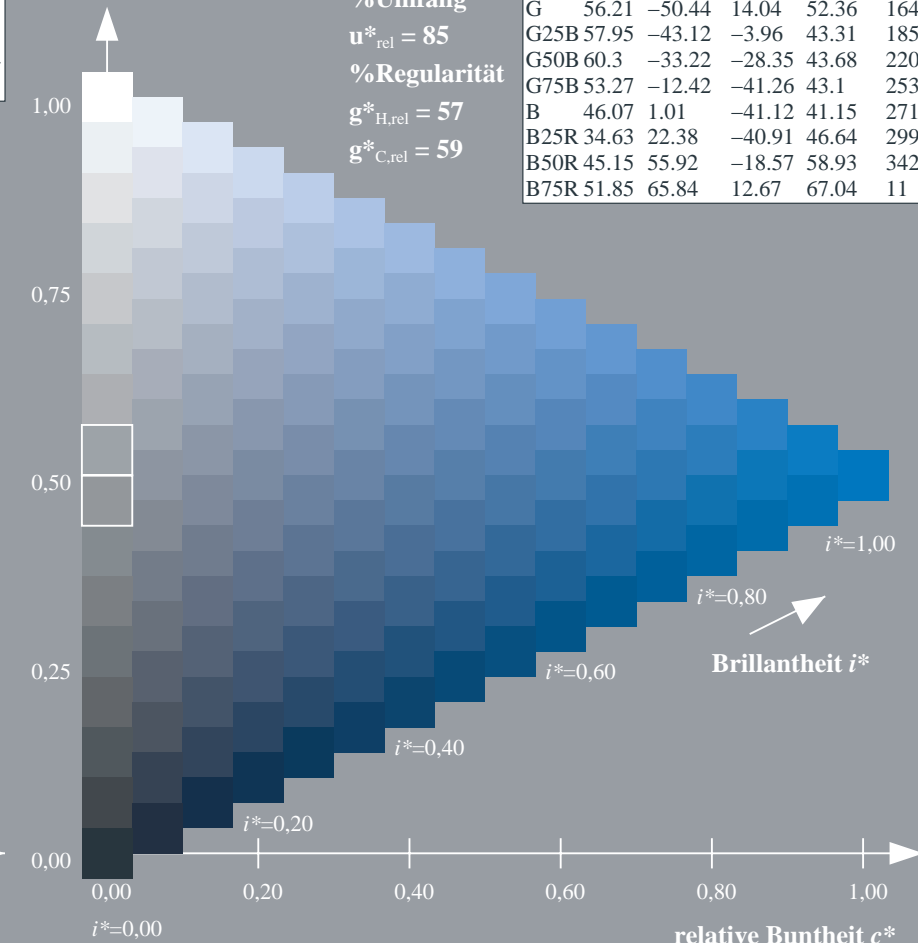
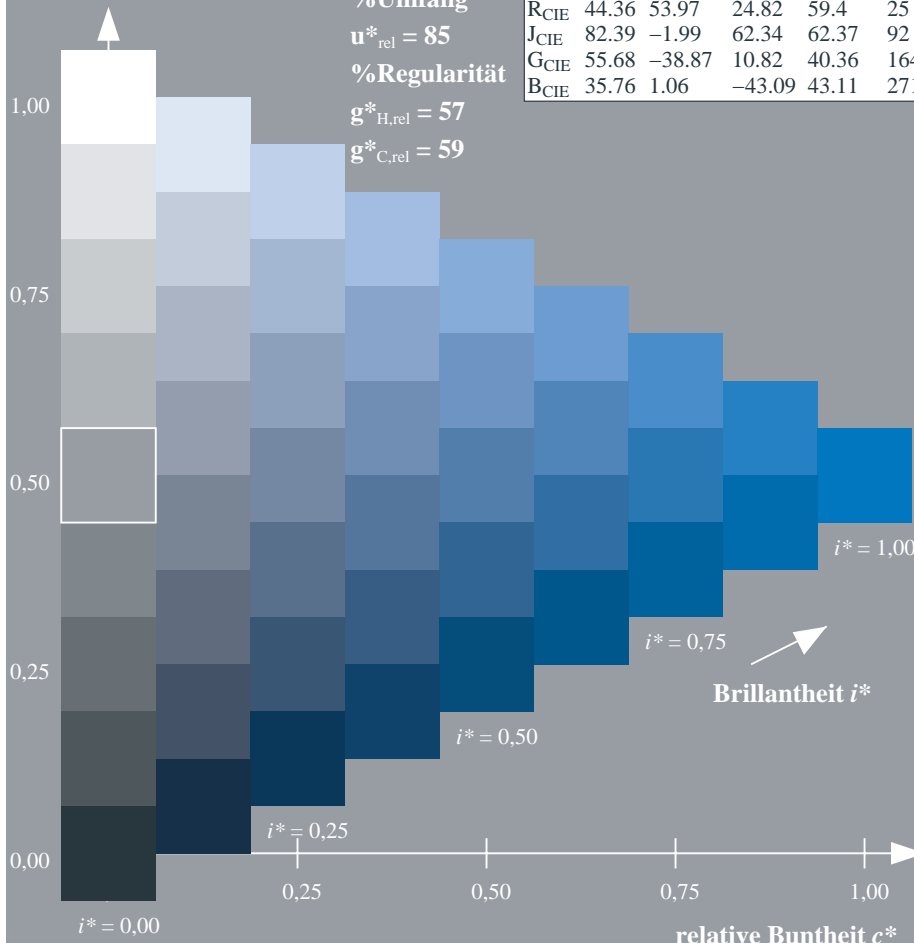
%Umfang

$u^*_{rel} = 85$

%Regularität

$g^*_{H,rel} = 57$

$g^*_{C,rel} = 59$



ZG910-7F, 9stufige Reihen für konstanten CIELAB Buntton 271/360 = 0.754 (links)

Seite 8/24

ZG910-7F, 16stufige Reihen für konstanten CIELAB Buntton 271/360 = 0.754 (rechts)

BAM-Prüfvorlage ZG91; Farbmétrik-Systeme, Seite 8/24 Eingabe: $rgb / cmy0 set(rgb/cmyk)color$

D65: 9 und 16stufige Farbreihen für 4 Elementar-Bunttöne Ausgabe: $->LAB^*->cmy5^* setcmykcolo$

BAM-Registrierung: 20071001-ZG91/10L/L91G00FP.PS/.PDF BAM-Material: Code=rh4ta
Anwendung für Beurteilung und Messung von Drucker- oder Monitorssystemen

Eingabe: Farbmétrisches Offset-Reflektiv-System ORS18

für Buntton $h^* = lab^*h = 25/360 = 0.069$

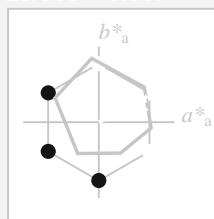
lab^*tch und lab^*nch

D65: Buntton R

LCH*Ma: 52 69 25

olv*Ma: 1.0 0.0 0.32

Dreiecks-Helligkeit t^*



%Umfang

$u^*_{rel} = 85$

%Regularität

$g^*_{H,rel} = 57$

$g^*_{C,rel} = 59$

ORS18; adaptierte CIELAB-Daten

	$L^*=L^*_a$	a^*_a	b^*_a	$C^*_{ab,a}$	$h^*_{ab,a}$
O _{Ma}	51.74	60.16	46.48	76.02	38
Y _{Ma}	90.77	-9.44	84.41	84.94	96
L _{Ma}	54.46	-57.8	32.16	66.15	151
C _{Ma}	61.56	-27.91	-41.41	49.95	236
V _{Ma}	31.3	28.61	-40.85	49.88	305
M _{Ma}	51.91	69.26	-7.69	69.68	354
N _{Ma}	24.2	0.0	0.0	0.0	0
W _{Ma}	95.41	0.0	0.0	0.0	0
R _{CIE}	44.36	53.97	24.82	59.4	25
J _{CIE}	82.39	-1.99	62.34	62.37	92
G _{CIE}	55.68	-38.87	10.82	40.36	164
B _{CIE}	35.76	1.06	-43.09	43.11	271

Ausgabe: Farbmétrisches Offset-Reflektiv-System ORS18

für Buntton $h^* = lab^*h = 25/360 = 0.069$

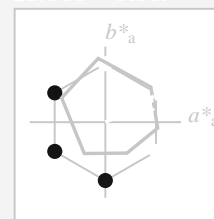
lab^*tch und lab^*nch

D65: Buntton R

LCH*Ma: 52 69 25

olv*Ma: 1.0 0.0 0.32

Dreiecks-Helligkeit t^*



%Umfang

$u^*_{rel} = 85$

%Regularität

$g^*_{H,rel} = 57$

$g^*_{C,rel} = 59$

ORS18; adaptierte CIELAB-Daten

	$L^*=L^*_a$	a^*_a	b^*_a	$C^*_{ab,a}$	$h^*_{ab,a}$
R	51.79	63.09	29.02	69.44	25
R25J	53.73	56.6	48.42	74.48	41
R50J	65.47	35.67	59.82	69.65	59
R75J	76.51	15.98	70.55	72.34	77
J	86.93	-2.58	80.67	80.71	92
J25G	84.92	-17.23	75.99	77.92	103
J50G	73.11	-32.96	59.0	67.58	119
J75G	60.06	-50.34	40.22	64.44	141
G	56.21	-50.44	14.04	52.36	164
G25B	57.95	-43.12	-3.96	43.31	185
G50B	60.3	-33.22	-28.35	43.68	220
G75B	53.27	-12.42	-41.26	43.1	253
B	46.07	1.01	-41.12	41.15	271
B25R	34.63	22.38	-40.91	46.64	299
B50R	45.15	55.92	-18.57	58.93	342
B75R	51.85	65.84	12.67	67.04	11

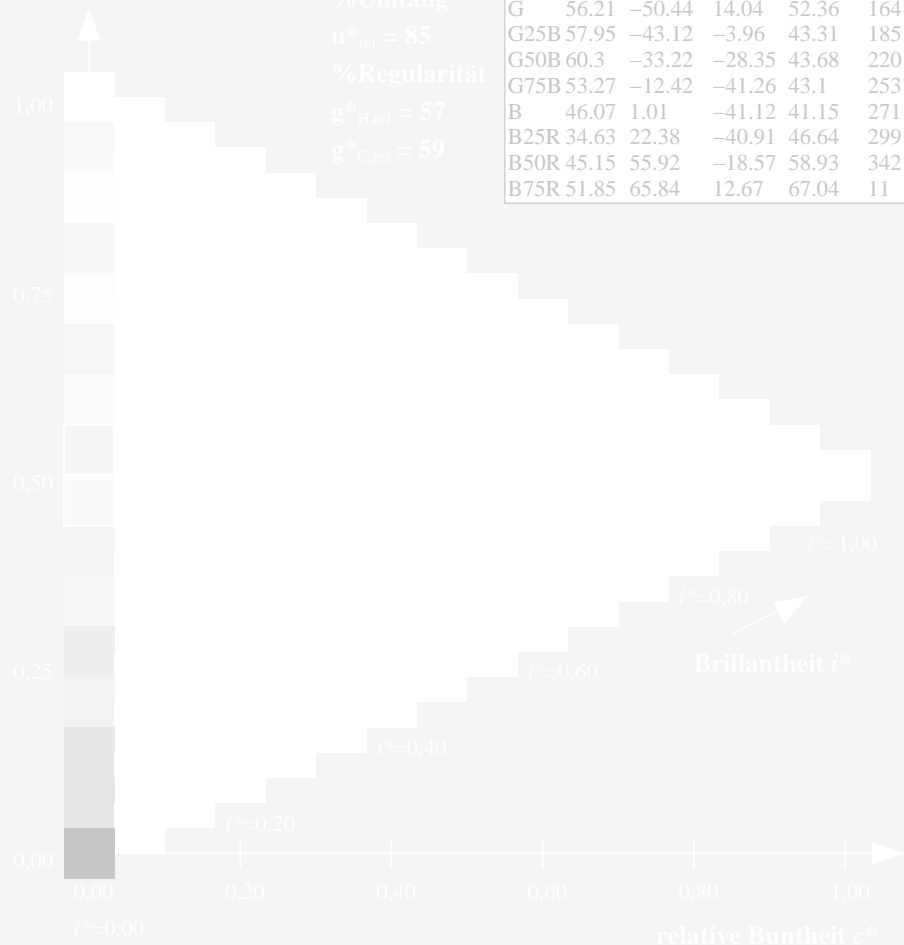
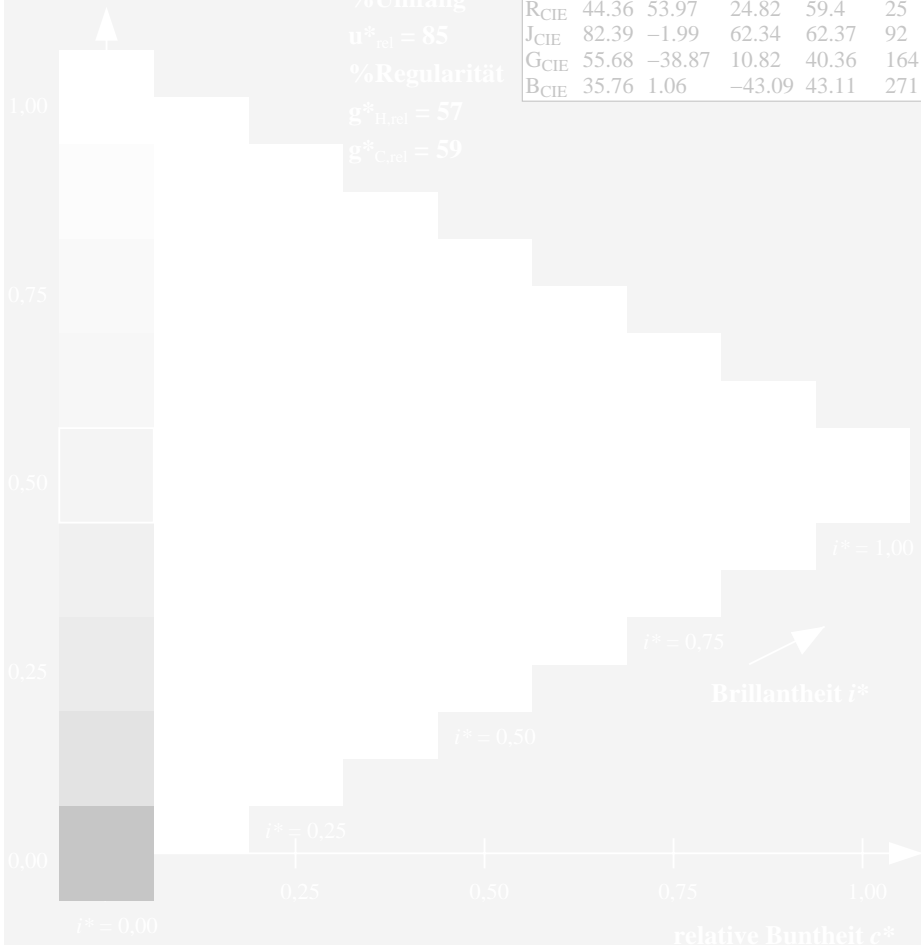
%Umfang

$u^*_{rel} = 85$

%Regularität

$g^*_{H,rel} = 57$

$g^*_{C,rel} = 59$



ZG910-7F, 9stufige Reihen für konstanten CIELAB Buntton 25/360 = 0.069 (links)

Seite 9/24

ZG910-7F, 16stufige Reihen für konstanten CIELAB Buntton 25/360 = 0.069 (rechts) c n*

BAM-Prüfvorlage ZG91; Farbmétrik-Systeme, Seite 9/24 Eingabe: $rgb / cmy0 set(rgb/cmyk)color$

D65: 9 und 16stufige Farbreihen für 4 Elementar-Bunttöne Ausgabe: $\rightarrow LAB^* \rightarrow cmy5^* setcmykcolo$

Eingabe: Farbmetrisches Offset-Reflektiv-System ORS18

für Buntton $h^* = lab^*h = 92/360 = 0,255$

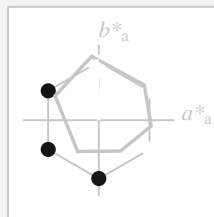
lab^*tch und lab^*nch

D65: Buntton J

LCH*Ma: 87 81 92

olv*Ma: 1.0 0.9 0.0

Dreiecks-Helligkeit t^*



%Umfang

$u^*_{rel} = 85$

%Regularität

$g^*_{H,rel} = 57$

$g^*_{C,rel} = 59$

ORS18; adaptierte CIELAB-Daten

	$L^*=L^*_a$	a^*_a	b^*_a	$C^*_{ab,a}$	$h^*_{ab,a}$
O _{Ma}	51.74	60.16	46.48	76.02	38
Y _{Ma}	90.77	-9.44	84.41	84.94	96
L _{Ma}	54.46	-57.8	32.16	66.15	151
C _{Ma}	61.56	-27.91	-41.41	49.95	236
V _{Ma}	31.3	28.61	-40.85	49.88	305
M _{Ma}	51.91	69.26	-7.69	69.68	354
N _{Ma}	24.2	0.0	0.0	0.0	0
W _{Ma}	95.41	0.0	0.0	0.0	0
R _{CIE}	44.36	53.97	24.82	59.4	25
J _{CIE}	82.39	-1.99	62.34	62.37	92
G _{CIE}	55.68	-38.87	10.82	40.36	164
B _{CIE}	35.76	1.06	-43.09	43.11	271

Ausgabe: Farbmetrisches Offset-Reflektiv-System ORS18

für Buntton $h^* = lab^*h = 92/360 = 0,255$

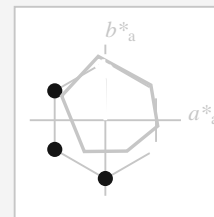
lab^*tch und lab^*nch

D65: Buntton J

LCH*Ma: 87 81 92

olv*Ma: 1.0 0.9 0.0

Dreiecks-Helligkeit t^*



%Umfang

$u^*_{rel} = 85$

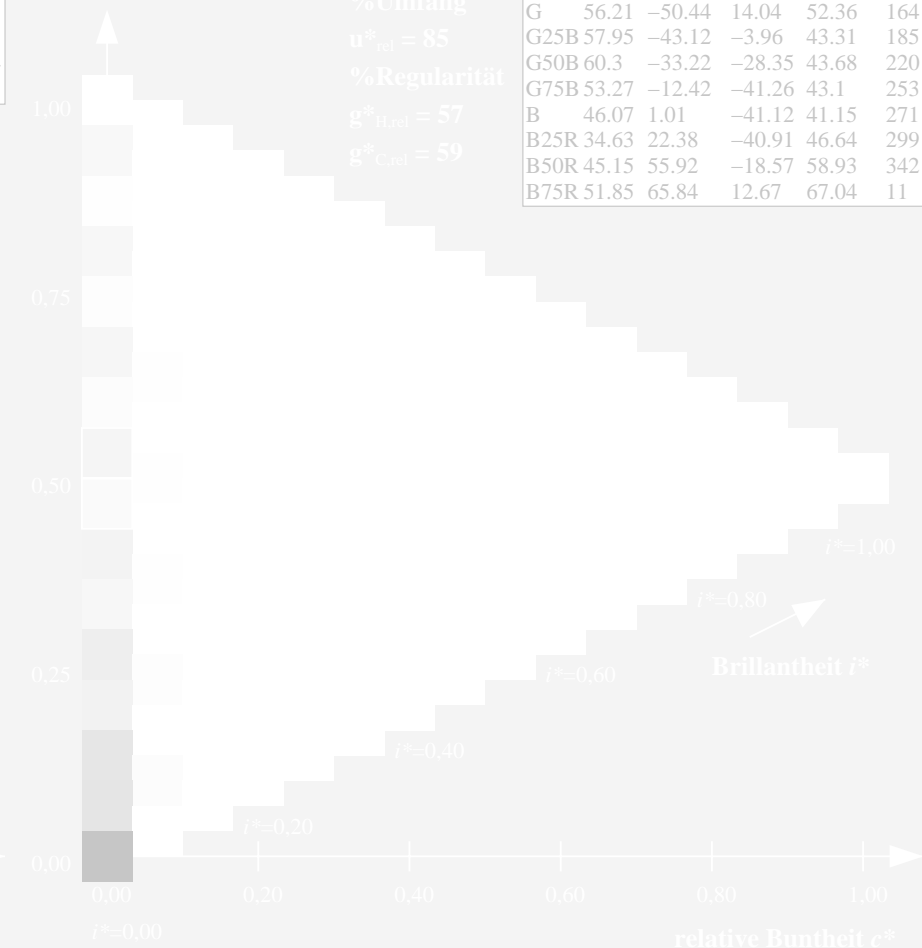
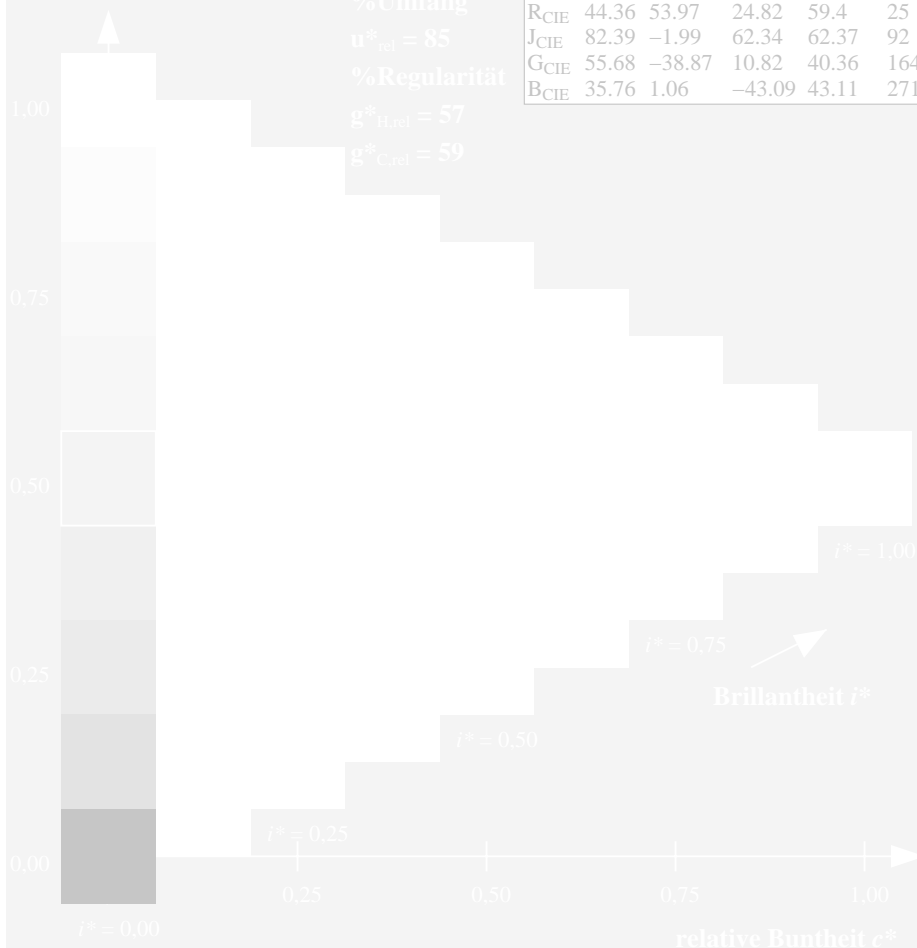
%Regularität

$g^*_{H,rel} = 57$

$g^*_{C,rel} = 59$

ORS18; adaptierte CIELAB-Daten

	$L^*=L^*_a$	a^*_a	b^*_a	$C^*_{ab,a}$	$h^*_{ab,a}$
R	51.79	63.09	29.02	69.44	25
R25J	53.73	56.6	48.42	74.48	41
R50J	65.47	35.67	59.82	69.65	59
R75J	76.51	15.98	70.55	72.34	77
J	86.93	-2.58	80.67	80.71	92
J25G	84.92	-17.23	75.99	77.92	103
J50G	73.11	-32.96	59.0	67.58	119
J75G	60.06	-50.34	40.22	64.44	141
G	56.21	-50.44	14.04	52.36	164
G25B	57.95	-43.12	-3.96	43.31	185
G50B	60.3	-33.22	-28.35	43.68	220
G75B	53.27	-12.42	-41.26	43.1	253
B	46.07	1.01	-41.12	41.15	271
B25R	34.63	22.38	-40.91	46.64	299
B50R	45.15	55.92	-18.57	58.93	342
B75R	51.85	65.84	12.67	67.04	11



ZG910-7F, 9stufige Reihen für konstanten CIELAB Buntton 92/360 = 0.255 (links)

Seite 10/24

ZG910-7F, 16stufige Reihen für konstanten CIELAB Buntton 92/360 = 0.255 (rechts) c n*

BAM-Prüfvorlage ZG91; Farbmetrik-Systeme, Seite 10/24 Eingabe: $rgb / cmy0 set(rgb/cmyk)color$

D65: 9 und 16stufige Farbreihen für 4 Elementar-Bunttöne Ausgabe: $\rightarrow LAB^* \rightarrow cmyn5^* setcmykcolo$

Eingabe: Farbmétrisches Offset-Reflektiv-System ORS18

für Buntton $h^* = lab^*h = 164/360 = 0.457$

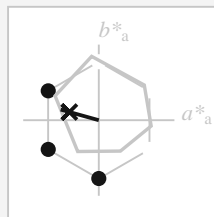
lab^*ch und lab^*nch

D65: Buntton G

LCH*Ma: 56 52 164

olv*Ma: 0.0 1.0 0.25

Dreiecks-Helligkeit t^*



%Umfang

$u^*_{rel} = 85$

%Regularität

$g^*_{H,rel} = 57$

$g^*_{C,rel} = 59$

ORS18; adaptierte CIELAB-Daten

	$L^*=L^*_a$	a^*_a	b^*_a	$C^*_{ab,a}$	$h^*_{ab,a}$
O _{Ma}	51.74	60.16	46.48	76.02	38
Y _{Ma}	90.77	-9.44	84.41	84.94	96
L _{Ma}	54.46	-57.8	32.16	66.15	151
C _{Ma}	61.56	-27.91	-41.41	49.95	236
V _{Ma}	31.3	28.61	-40.85	49.88	305
M _{Ma}	51.91	69.26	-7.69	69.68	354
N _{Ma}	24.2	0.0	0.0	0.0	0
W _{Ma}	95.41	0.0	0.0	0.0	0
R _{CIE}	44.36	53.97	24.82	59.4	25
J _{CIE}	82.39	-1.99	62.34	62.37	92
G _{CIE}	55.68	-38.87	10.82	40.36	164
B _{CIE}	35.76	1.06	-43.09	43.11	271

Ausgabe: Farbmétrisches Offset-Reflektiv-System ORS18

für Buntton $h^* = lab^*h = 164/360 = 0.457$

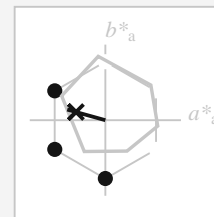
lab^*ch und lab^*nch

D65: Buntton G

LCH*Ma: 56 52 164

olv*Ma: 0.0 1.0 0.25

Dreiecks-Helligkeit t^*



%Umfang

$u^*_{rel} = 85$

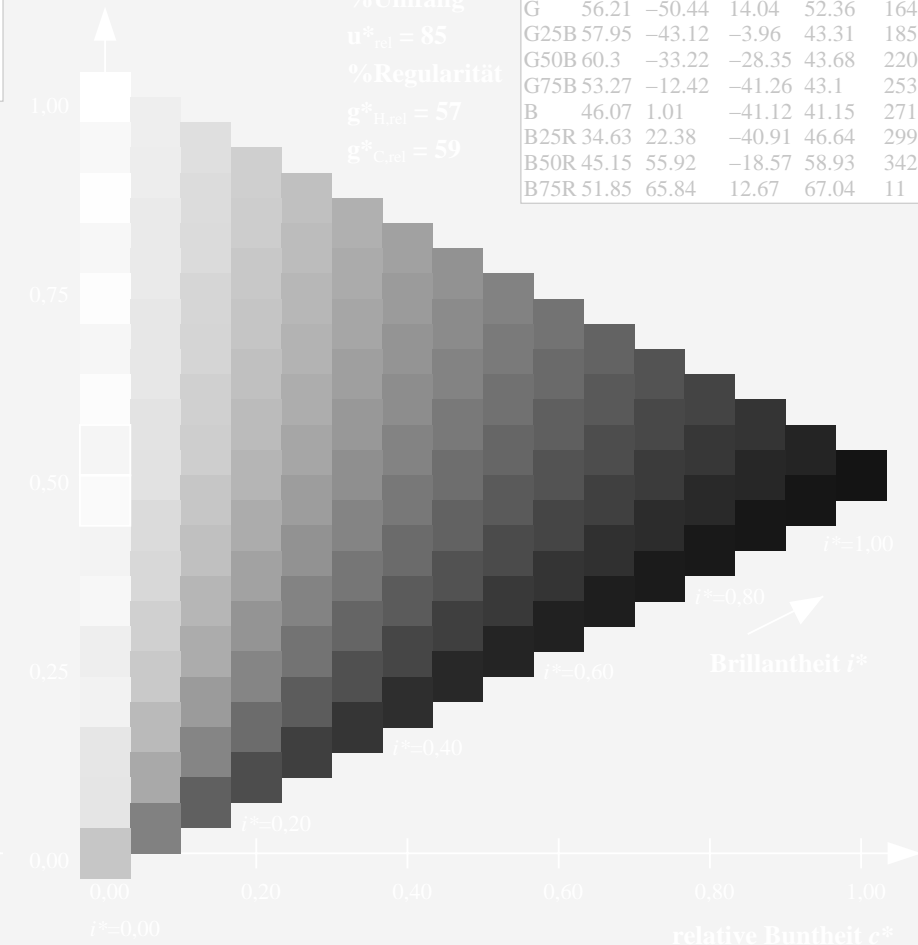
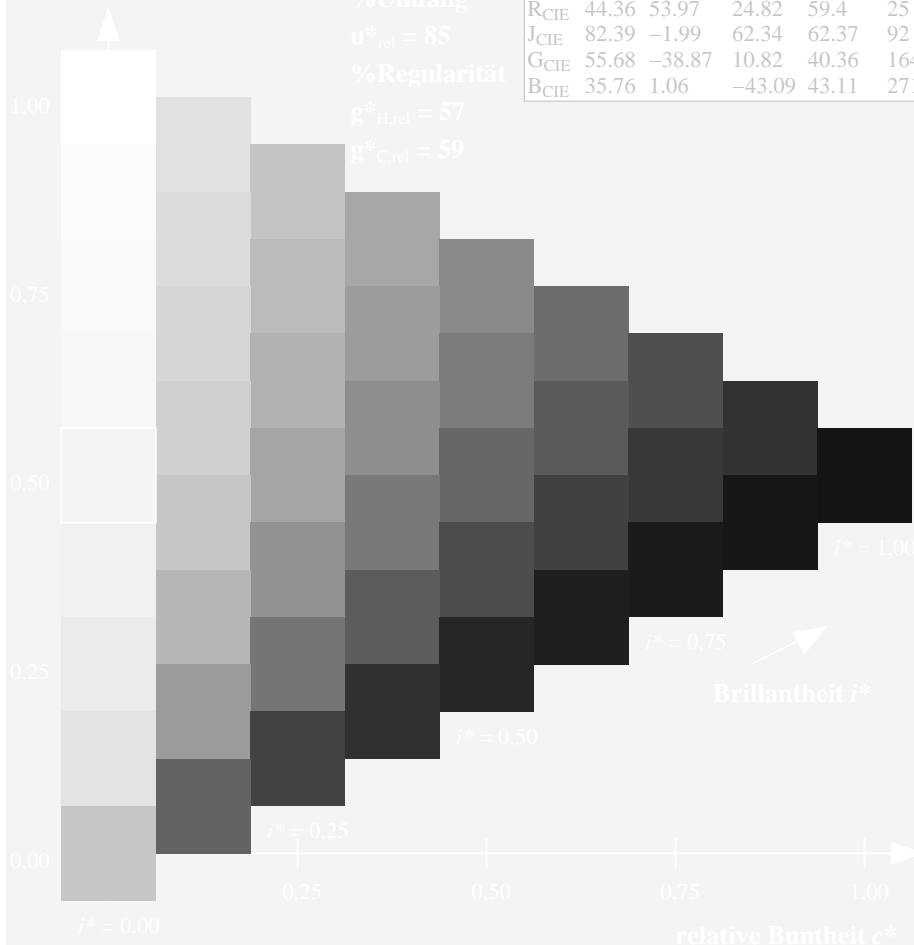
%Regularität

$g^*_{H,rel} = 57$

$g^*_{C,rel} = 59$

ORS18; adaptierte CIELAB-Daten

	$L^*=L^*_a$	a^*_a	b^*_a	$C^*_{ab,a}$	$h^*_{ab,a}$
R	51.79	63.09	29.02	69.44	25
R25J	53.73	56.6	48.42	74.48	41
R50J	65.47	35.67	59.82	69.65	59
R75J	76.51	15.98	70.55	72.34	77
J	86.93	-2.58	80.67	80.71	92
J25G	84.92	-17.23	75.99	77.92	103
J50G	73.11	-32.96	59.0	67.58	119
J75G	60.06	-50.34	40.22	64.44	141
G	56.21	-50.44	14.04	52.36	164
G25B	57.95	-43.12	-3.96	43.31	185
G50B	60.3	-33.22	-28.35	43.68	220
G75B	53.27	-12.42	-41.26	43.1	253
B	46.07	1.01	-41.12	41.15	271
B25R	34.63	22.38	-40.91	46.64	299
B50R	45.15	55.92	-18.57	58.93	342
B75R	51.85	65.84	12.67	67.04	11



ZG910-7F, 9stufige Reihen für konstanten CIELAB Buntton 164/360 = 0.457 (links)

Seite 11/24

ZG910-7F, 16stufige Reihen für konstanten CIELAB Buntton 164/360 = 0.457 (rechts) c n*

BAM-Prüfvorlage ZG91; Farbmétrik-Systeme, Seite 11/24 Eingabe: $rgb / cmy0 set(rgb/cmyk)color$

D65: 9 und 16stufige Farbreihen für 4 Elementar-Bunttöne Ausgabe: $\rightarrow LAB^* \rightarrow cmy5^* setcmykcolo$

Eingabe: Farbmétrisches Offset-Reflektiv-System ORS18

für Buntton $h^* = lab^*h = 271/360 = 0.754$

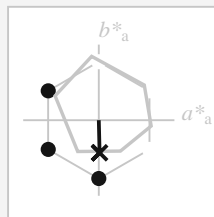
lab^*ch und lab^*nh

D65: Buntton B

LCH*Ma: 46 41 271

olv*Ma: 0.0 0.49 1.0

Dreiecks-Helligkeit t^*



%Umfang

$u^*_{rel} = 85$

%Regularität

$g^*_{H,rel} = 57$

$g^*_{C,rel} = 59$

ORS18; adaptierte CIELAB-Daten

	$L^*=L^*_a$	a^*_a	b^*_a	$C^*_{ab,a}$	$h^*_{ab,a}$
O _{Ma}	51.74	60.16	46.48	76.02	38
Y _{Ma}	90.77	-9.44	84.41	84.94	96
L _{Ma}	54.46	-57.8	32.16	66.15	151
C _{Ma}	61.56	-27.91	-41.41	49.95	236
V _{Ma}	31.3	28.61	-40.85	49.88	305
M _{Ma}	51.91	69.26	-7.69	69.68	354
N _{Ma}	24.2	0.0	0.0	0.0	0
W _{Ma}	95.41	0.0	0.0	0.0	0
R _{CIE}	44.36	53.97	24.82	59.4	25
J _{CIE}	82.39	-1.99	62.34	62.37	92
G _{CIE}	55.68	-38.87	10.82	40.36	164
B _{CIE}	35.76	1.06	-43.09	43.11	271

Ausgabe: Farbmétrisches Offset-Reflektiv-System ORS18

für Buntton $h^* = lab^*h = 271/360 = 0.754$

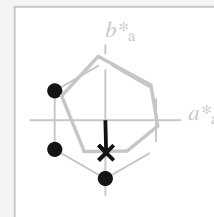
lab^*ch und lab^*nh

D65: Buntton B

LCH*Ma: 46 41 271

olv*Ma: 0.0 0.49 1.0

Dreiecks-Helligkeit t^*



%Umfang

$u^*_{rel} = 85$

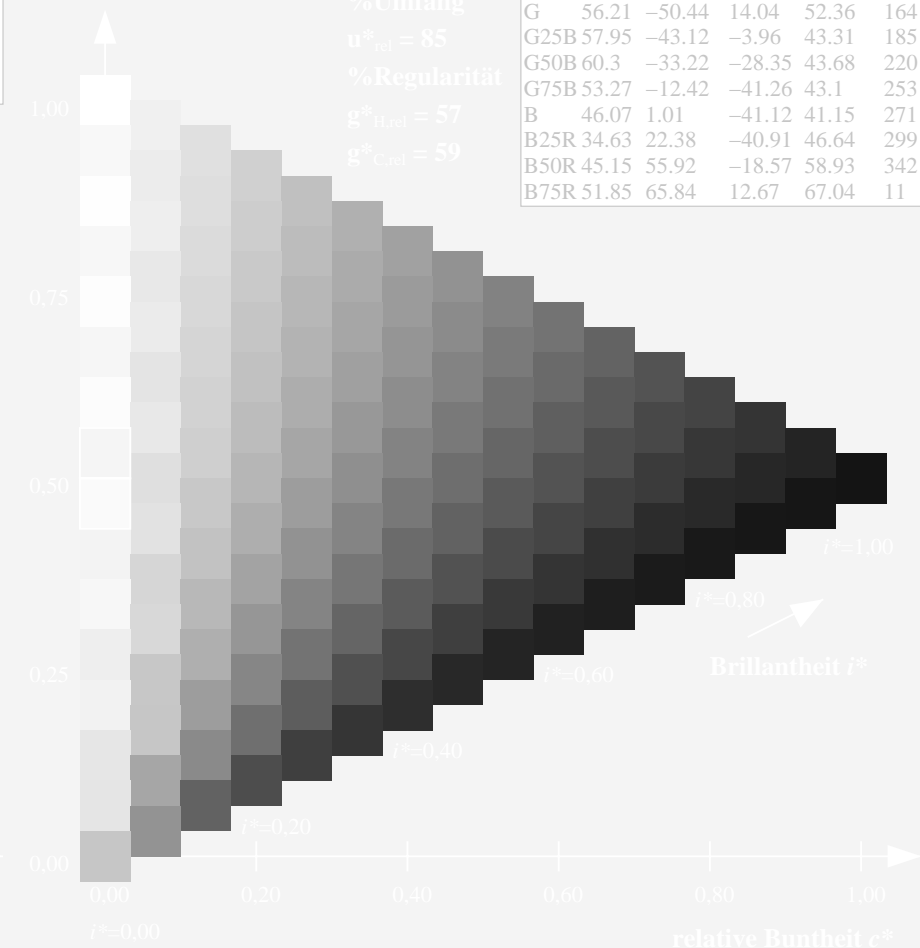
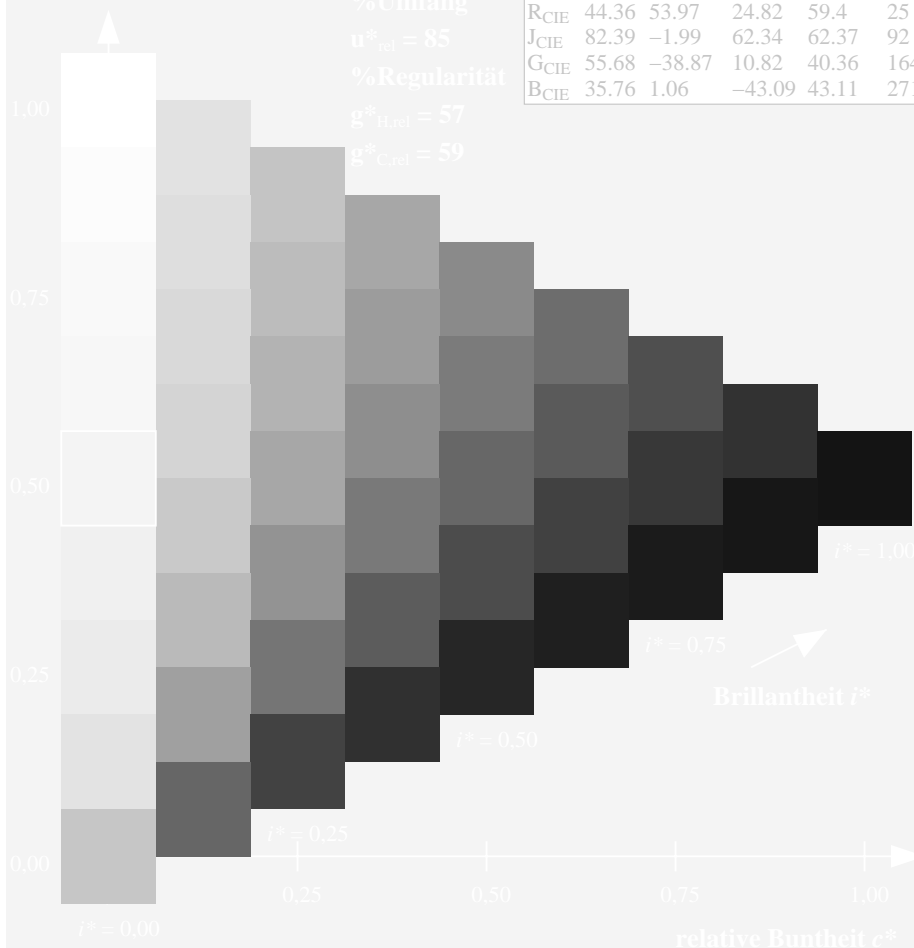
%Regularität

$g^*_{H,rel} = 57$

$g^*_{C,rel} = 59$

ORS18; adaptierte CIELAB-Daten

	$L^*=L^*_a$	a^*_a	b^*_a	$C^*_{ab,a}$	$h^*_{ab,a}$
R	51.79	63.09	29.02	69.44	25
R25J	53.73	56.6	48.42	74.48	41
R50J	65.47	35.67	59.82	69.65	59
R75J	76.51	15.98	70.55	72.34	77
J	86.93	-2.58	80.67	80.71	92
J25G	84.92	-17.23	75.99	77.92	103
J50G	73.11	-32.96	59.0	67.58	119
J75G	60.06	-50.34	40.22	64.44	141
G	56.21	-50.44	14.04	52.36	164
G25B	57.95	-43.12	-3.96	43.31	185
G50B	60.3	-33.22	-28.35	43.68	220
G75B	53.27	-12.42	-41.26	43.1	253
B	46.07	1.01	-41.12	41.15	271
B25R	34.63	22.38	-40.91	46.64	299
B50R	45.15	55.92	-18.57	58.93	342
B75R	51.85	65.84	12.67	67.04	11



ZG910-7F, 9stufige Reihen für konstanten CIELAB Buntton 271/360 = 0.754 (links)

Seite 12/24

ZG910-7F, 16stufige Reihen für konstanten CIELAB Buntton 271/360 = 0.754 (rechts) c n*

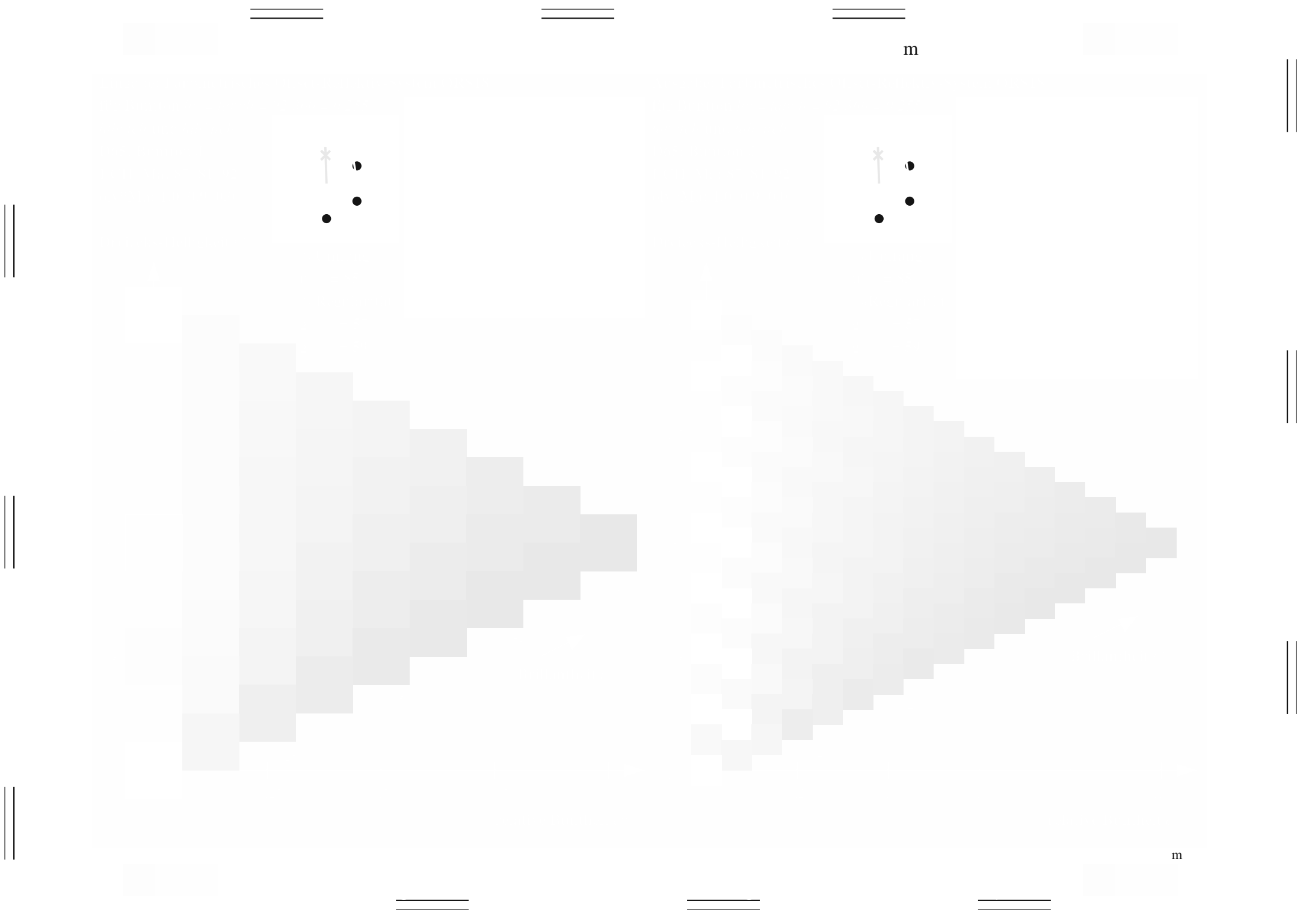
BAM-Prüfvorlage ZG91; Farbmétrik-Systeme, Seite 12/24 Eingabe: $rgb / cmy0 set(rgb/cmyk)color$

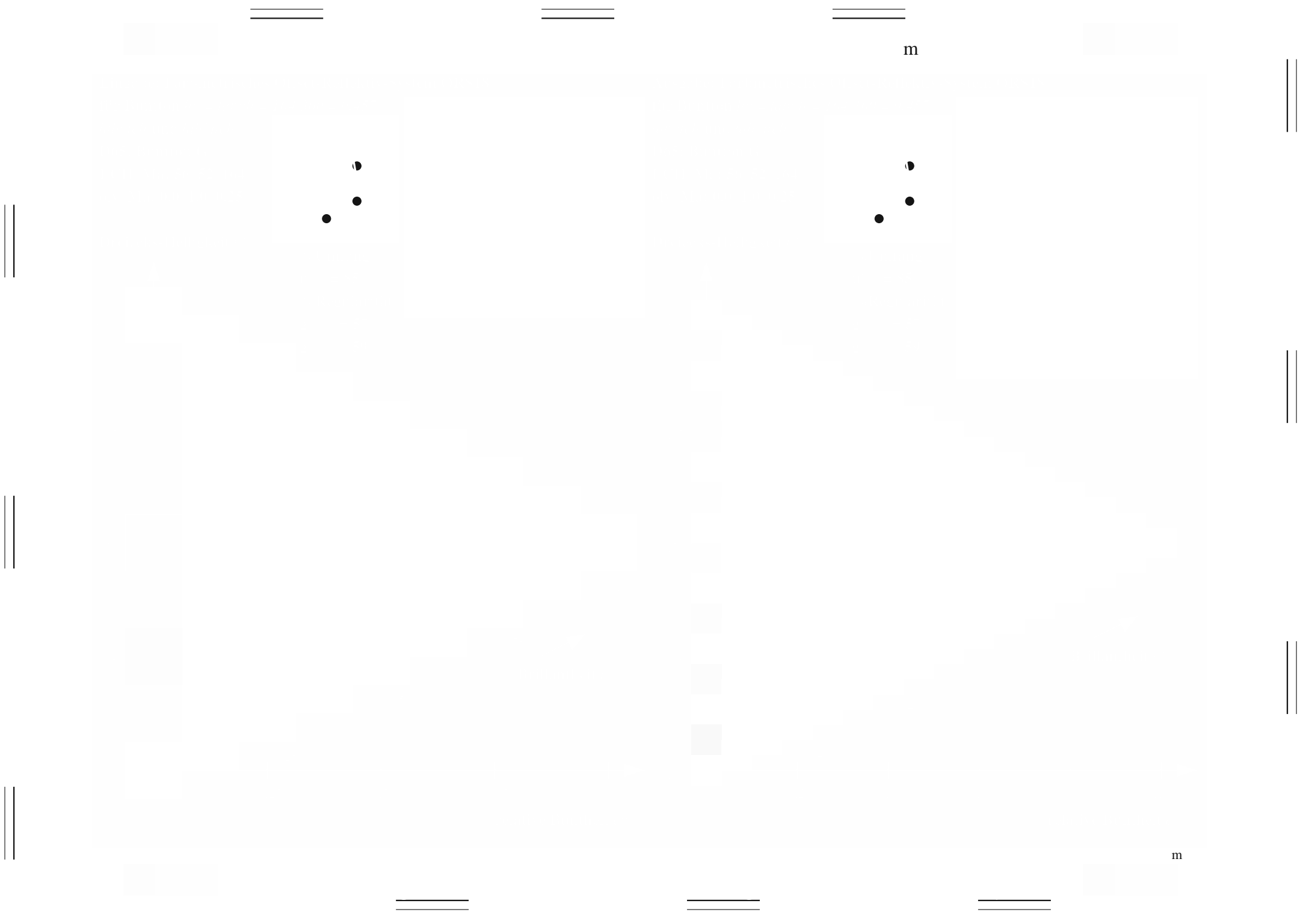
D65: 9 und 16stufige Farbreihen für 4 Elementar-Bunttöne Ausgabe: $\rightarrow LAB^* \rightarrow cmy5^* setcmykcolo$

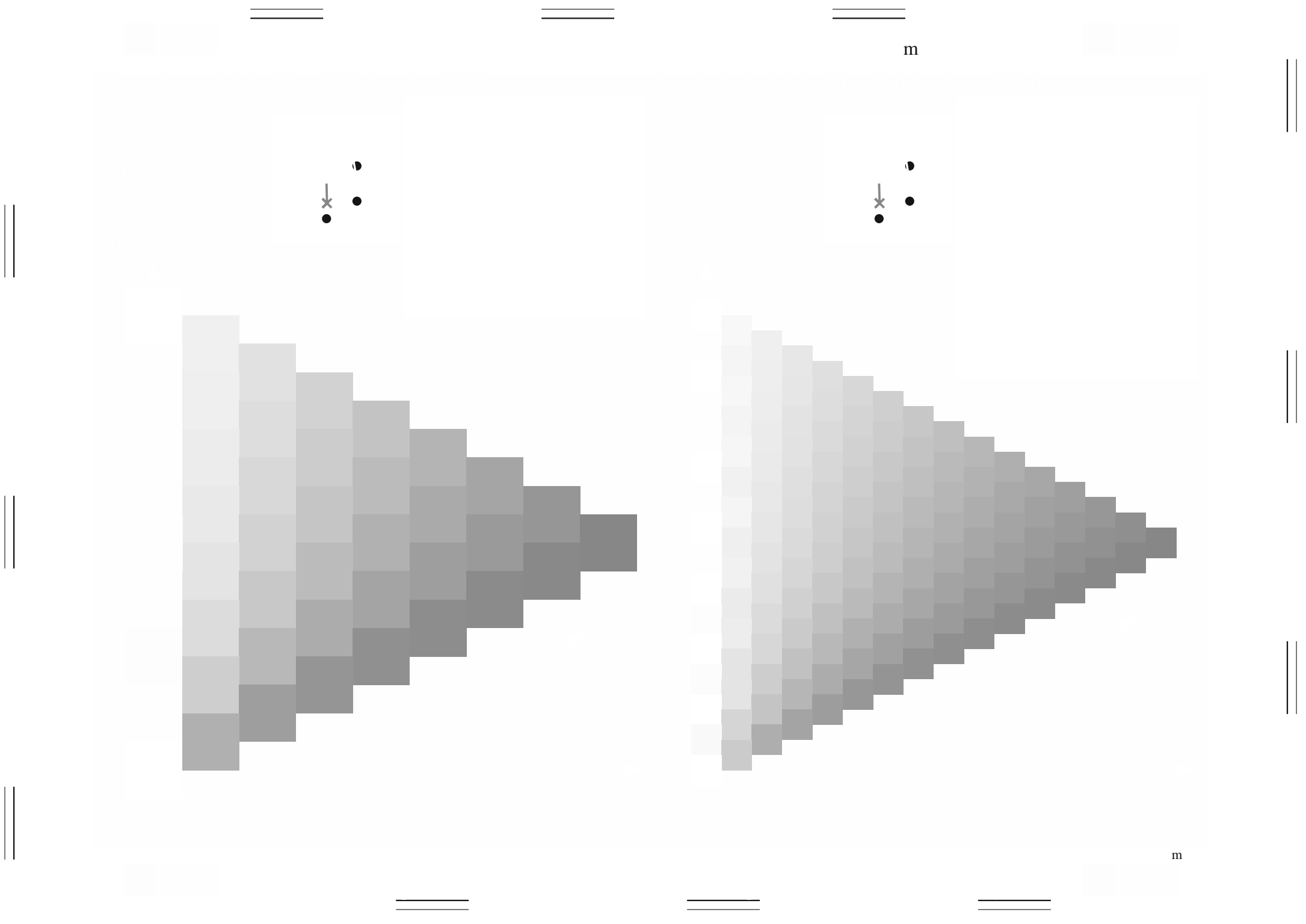
m

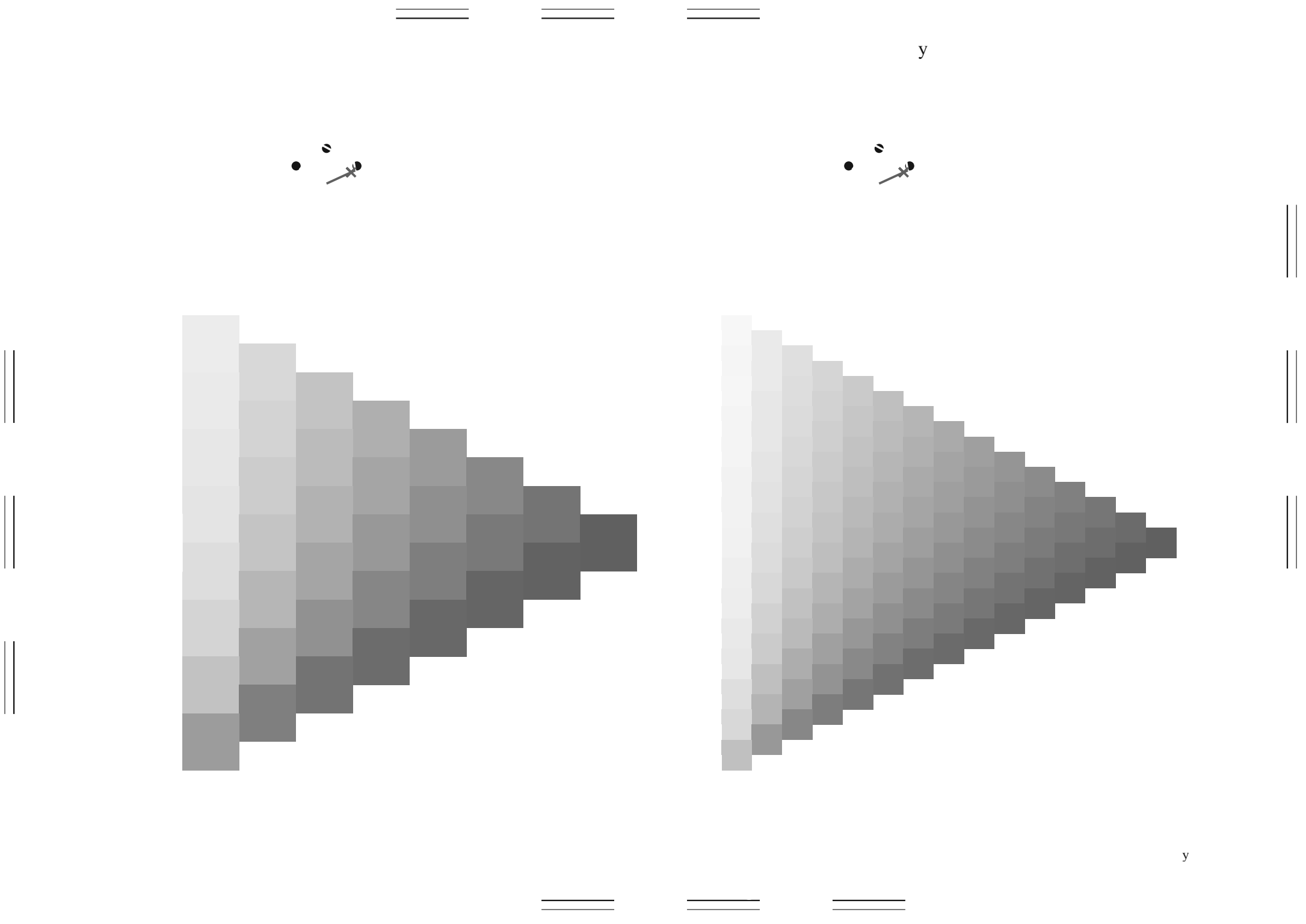


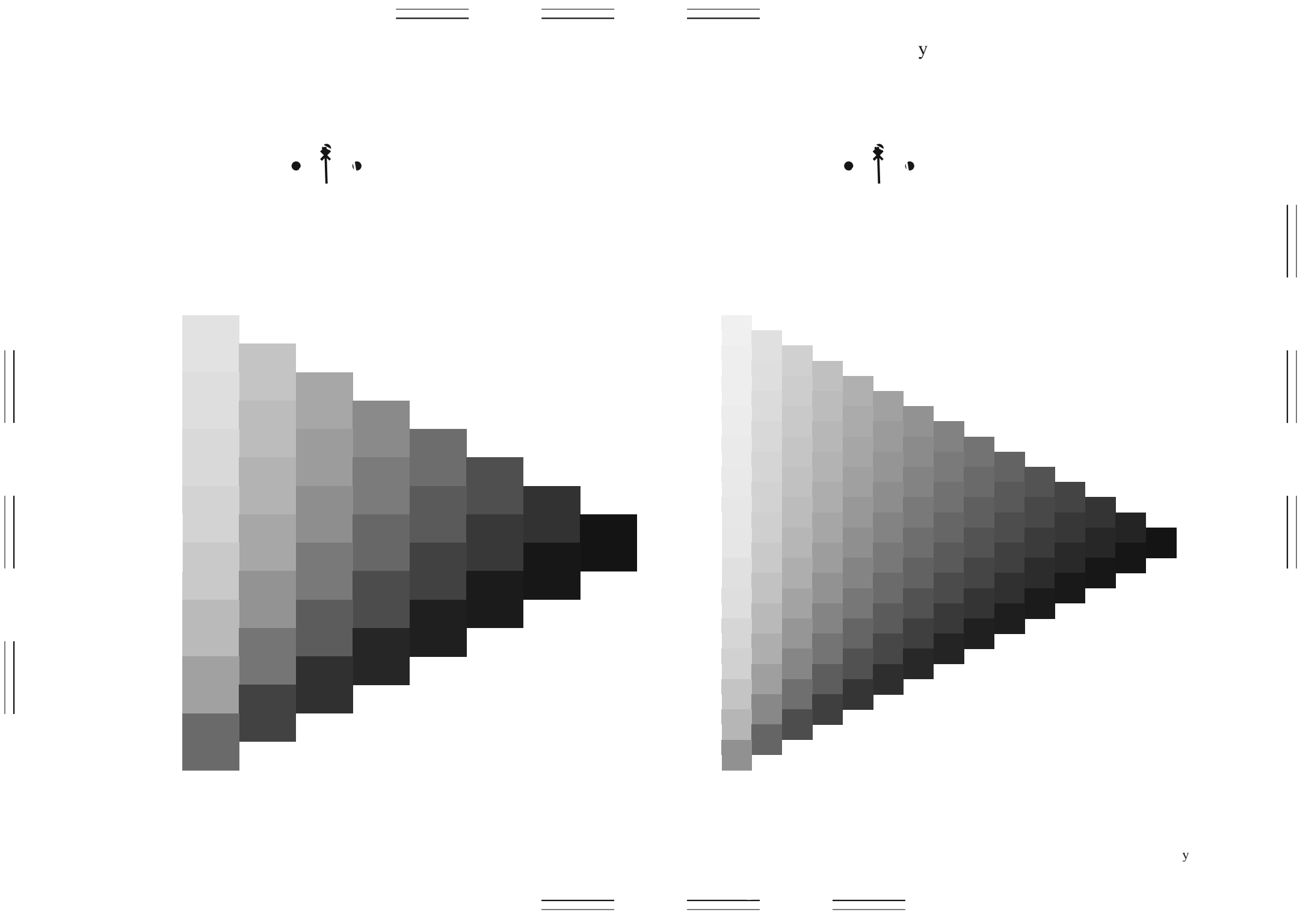
m

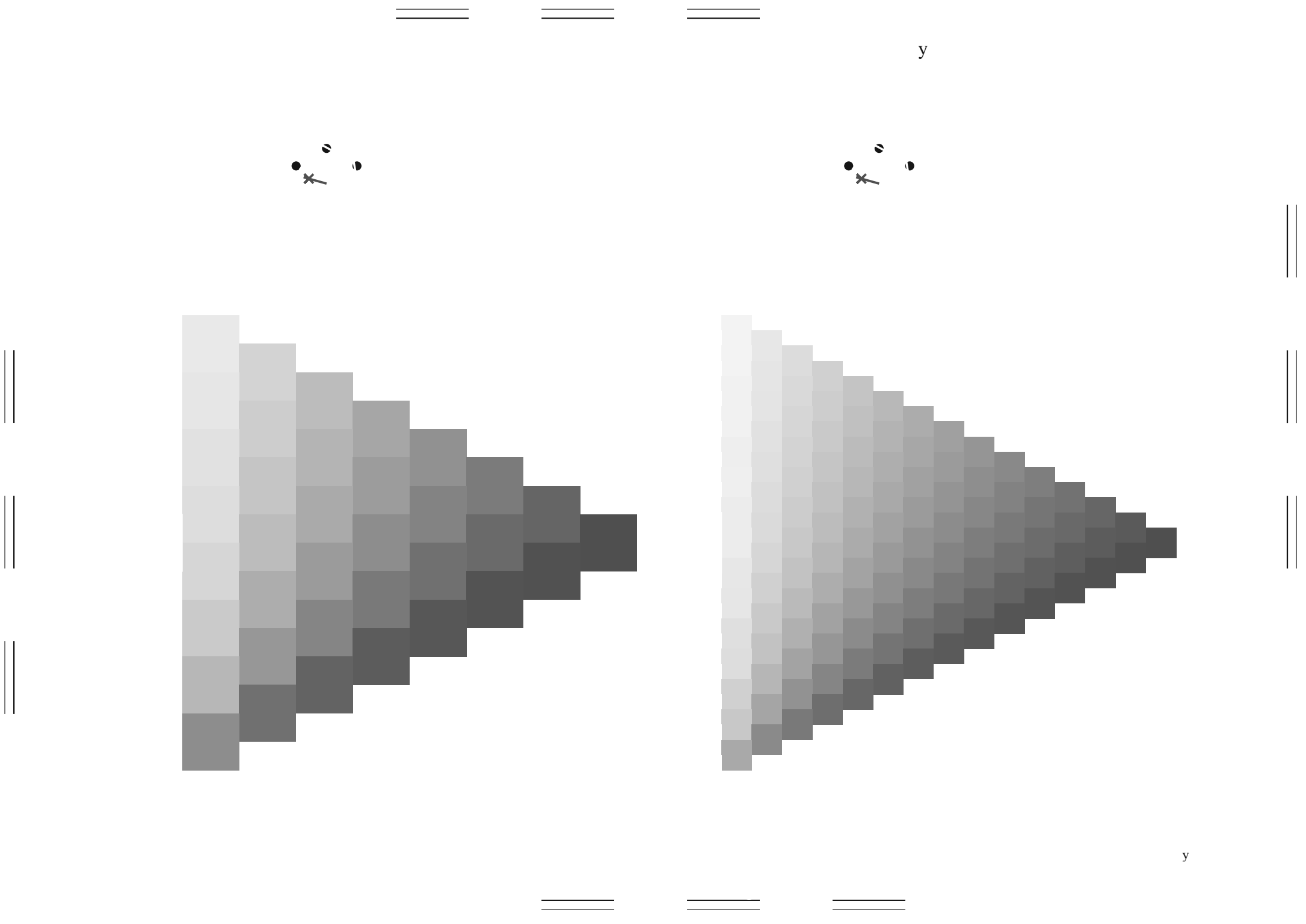


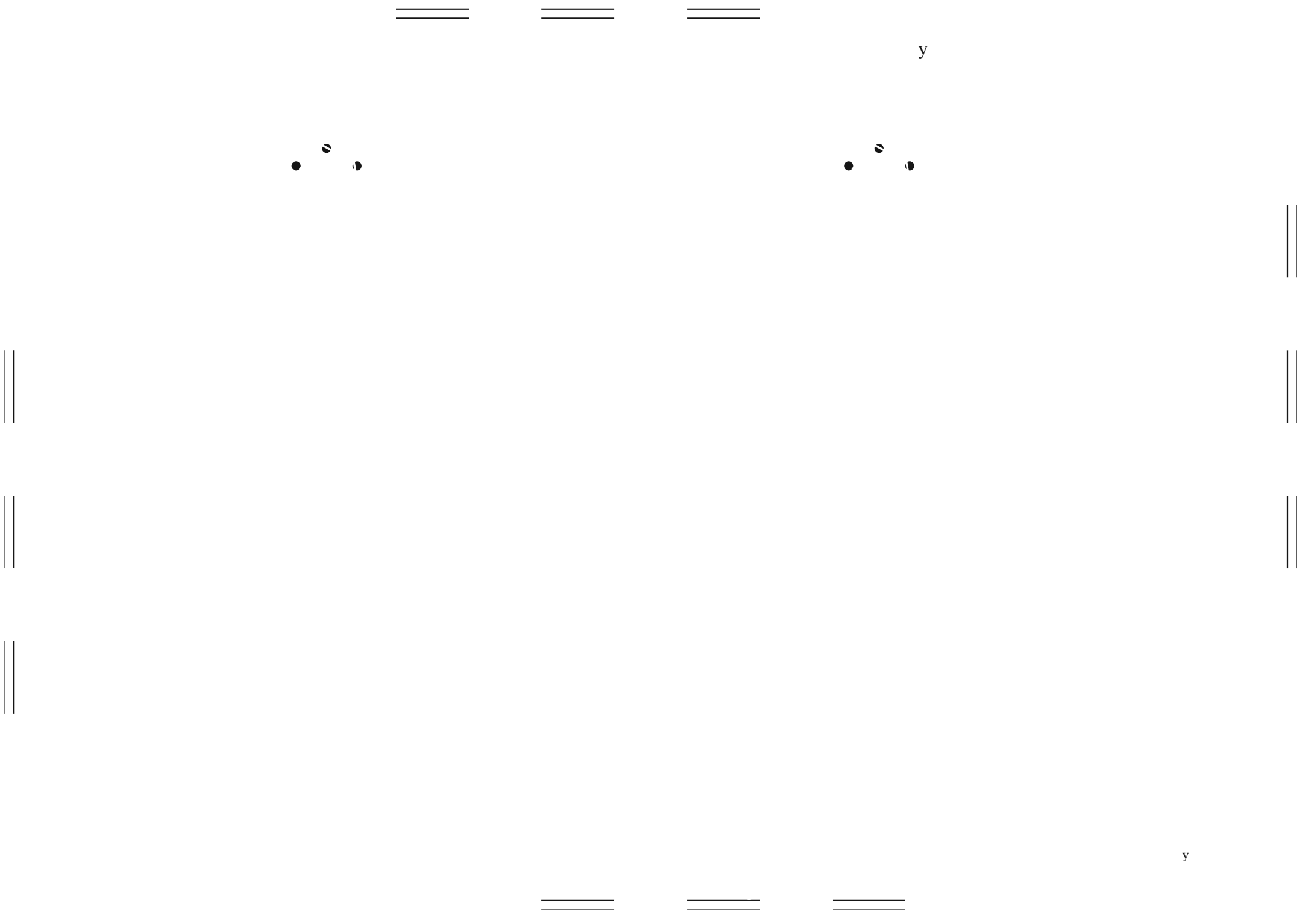












Eingabe: Farbmétrisches Offset-Reflektiv-System ORS18

für Buntton $h^* = lab^*h = 25/360 = 0.069$

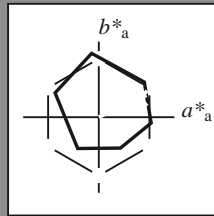
lab^*tch und lab^*nch

D65: Buntton R

LCH*Ma: 52 69 25

olv*Ma: 1.0 0.0 0.32

Dreiecks-Helligkeit t^*



%Umfang

$u^*_{rel} = 85$

%Regularität

$g^*_{H,rel} = 57$

$g^*_{C,rel} = 59$

ORS18; adaptierte CIELAB-Daten

	$L^*=L^*_a$	a^*_a	b^*_a	$C^*_{ab,a}$	$h^*_{ab,a}$
O _{Ma}	51.74	60.16	46.48	76.02	38
Y _{Ma}	90.77	-9.44	84.41	84.94	96
L _{Ma}	54.46	-57.8	32.16	66.15	151
C _{Ma}	61.56	-27.91	-41.41	49.95	236
V _{Ma}	31.3	28.61	-40.85	49.88	305
M _{Ma}	51.91	69.26	-7.69	69.68	354
N _{Ma}	24.2	0.0	0.0	0.0	0
W _{Ma}	95.41	0.0	0.0	0.0	0
R _{CIE}	44.36	53.97	24.82	59.4	25
J _{CIE}	82.39	-1.99	62.34	62.37	92
G _{CIE}	55.68	-38.87	10.82	40.36	164
B _{CIE}	35.76	1.06	-43.09	43.11	271

Ausgabe: Farbmétrisches Offset-Reflektiv-System ORS18

für Buntton $h^* = lab^*h = 25/360 = 0.069$

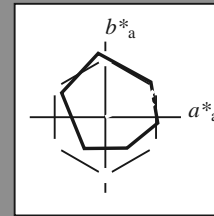
lab^*tch und lab^*nch

D65: Buntton R

LCH*Ma: 52 69 25

olv*Ma: 1.0 0.0 0.32

Dreiecks-Helligkeit t^*



%Umfang

$u^*_{rel} = 85$

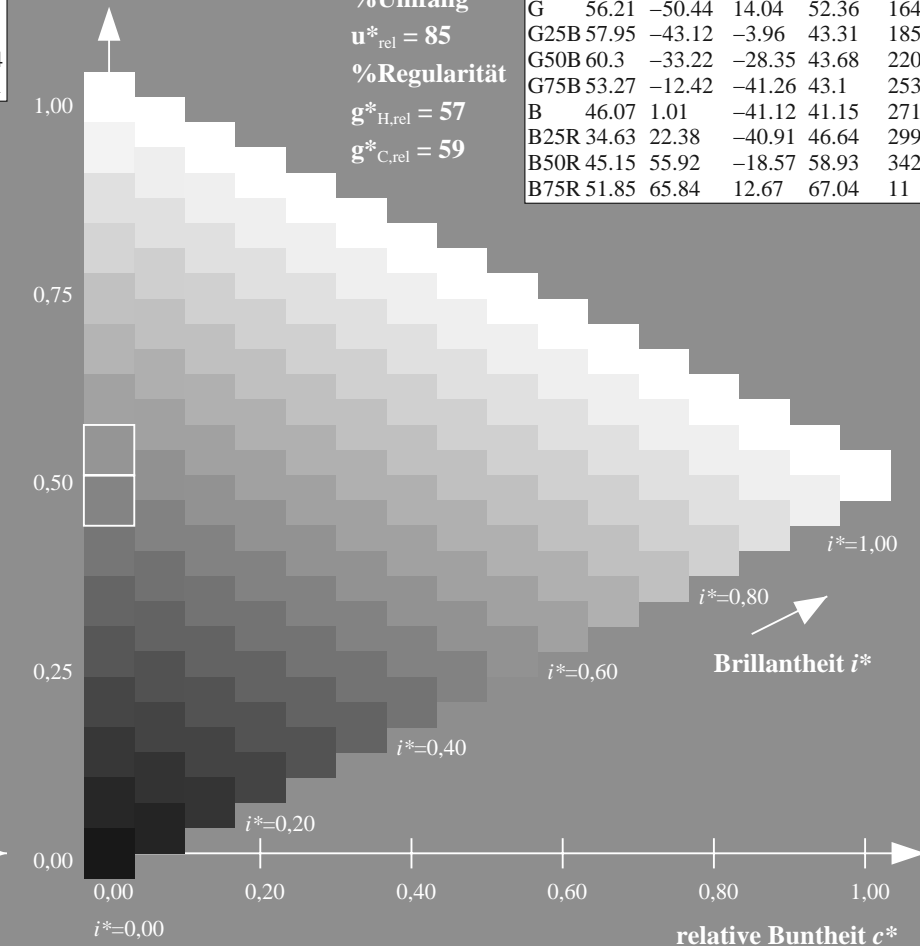
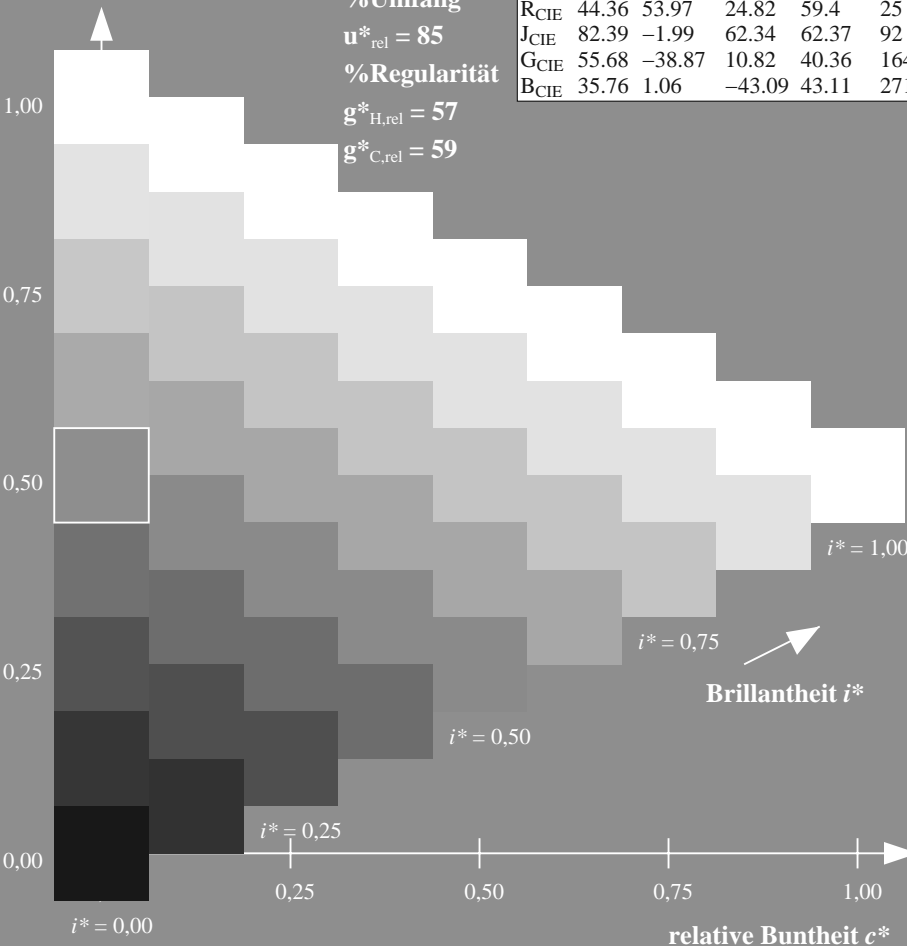
%Regularität

$g^*_{H,rel} = 57$

$g^*_{C,rel} = 59$

ORS18; adaptierte CIELAB-Daten

	$L^*=L^*_a$	a^*_a	b^*_a	$C^*_{ab,a}$	$h^*_{ab,a}$
R	51.79	63.09	29.02	69.44	25
R25J	53.73	56.6	48.42	74.48	41
R50J	65.47	35.67	59.82	69.65	59
R75J	76.51	15.98	70.55	72.34	77
J	86.93	-2.58	80.67	80.71	92
J25G	84.92	-17.23	75.99	77.92	103
J50G	73.11	-32.96	59.0	67.58	119
J75G	60.06	-50.34	40.22	64.44	141
G	56.21	-50.44	14.04	52.36	164
G25B	57.95	-43.12	-3.96	43.31	185
G50B	60.3	-33.22	-28.35	43.68	220
G75B	53.27	-12.42	-41.26	43.1	253
B	46.07	1.01	-41.12	41.15	271
B25R	34.63	22.38	-40.91	46.64	299
B50R	45.15	55.92	-18.57	58.93	342
B75R	51.85	65.84	12.67	67.04	11



ZG910-7F, 9stufige Reihen für konstanten CIELAB Buntton 25/360 = 0.069 (links)

Seite 21/24

ZG910-7F, 16stufige Reihen für konstanten CIELAB Buntton 25/360 = 0.069 (rechts)

n*

BAM-Prüfvorlage ZG91; Farbmétrik-Systeme, Seite 21/24 Eingabe: $rgb / cmy0$ set($rgb/cmyk$)color

D65: 9 und 16stufige Farbreihen für 4 Elementar-Bunttöne Ausgabe: $\rightarrow LAB^* \rightarrow cmy5^* setcmykcolo$

Eingabe: Farbmétrisches Offset-Reflektiv-System ORS18

für Buntton $h^* = lab^*h = 92/360 = 0.255$

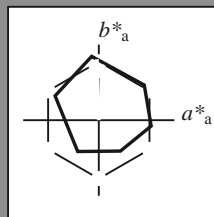
lab^*tch und lab^*nch

D65: Buntton J

LCH*Ma: 87 81 92

olv*Ma: 1.0 0.9 0.0

Dreiecks-Helligkeit t^*



%Umfang

$u^*_{rel} = 85$

%Regularität

$g^*_{H,rel} = 57$

$g^*_{C,rel} = 59$

ORS18; adaptierte CIELAB-Daten

	$L^*=L^*_a$	a^*_a	b^*_a	$C^*_{ab,a}$	$h^*_{ab,a}$
O _{Ma}	51.74	60.16	46.48	76.02	38
Y _{Ma}	90.77	-9.44	84.41	84.94	96
L _{Ma}	54.46	-57.8	32.16	66.15	151
C _{Ma}	61.56	-27.91	-41.41	49.95	236
V _{Ma}	31.3	28.61	-40.85	49.88	305
M _{Ma}	51.91	69.26	-7.69	69.68	354
N _{Ma}	24.2	0.0	0.0	0.0	0
W _{Ma}	95.41	0.0	0.0	0.0	0
R _{CIE}	44.36	53.97	24.82	59.4	25
J _{CIE}	82.39	-1.99	62.34	62.37	92
G _{CIE}	55.68	-38.87	10.82	40.36	164
B _{CIE}	35.76	1.06	-43.09	43.11	271

Ausgabe: Farbmétrisches Offset-Reflektiv-System ORS18

für Buntton $h^* = lab^*h = 92/360 = 0.255$

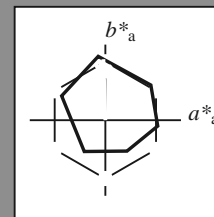
lab^*tch und lab^*nch

D65: Buntton J

LCH*Ma: 87 81 92

olv*Ma: 1.0 0.9 0.0

Dreiecks-Helligkeit t^*



%Umfang

$u^*_{rel} = 85$

%Regularität

$g^*_{H,rel} = 57$

$g^*_{C,rel} = 59$

ORS18; adaptierte CIELAB-Daten

	$L^*=L^*_a$	a^*_a	b^*_a	$C^*_{ab,a}$	$h^*_{ab,a}$
R	51.79	63.09	29.02	69.44	25
R25J	53.73	56.6	48.42	74.48	41
R50J	65.47	35.67	59.82	69.65	59
R75J	76.51	15.98	70.55	72.34	77
J	86.93	-2.58	80.67	80.71	92
J25G	84.92	-17.23	75.99	77.92	103
J50G	73.11	-32.96	59.0	67.58	119
J75G	60.06	-50.34	40.22	64.44	141
G	56.21	-50.44	14.04	52.36	164
G25B	57.95	-43.12	-3.96	43.31	185
G50B	60.3	-33.22	-28.35	43.68	220
G75B	53.27	-12.42	-41.26	43.1	253
B	46.07	1.01	-41.12	41.15	271
B25R	34.63	22.38	-40.91	46.64	299
B50R	45.15	55.92	-18.57	58.93	342
B75R	51.85	65.84	12.67	67.04	11

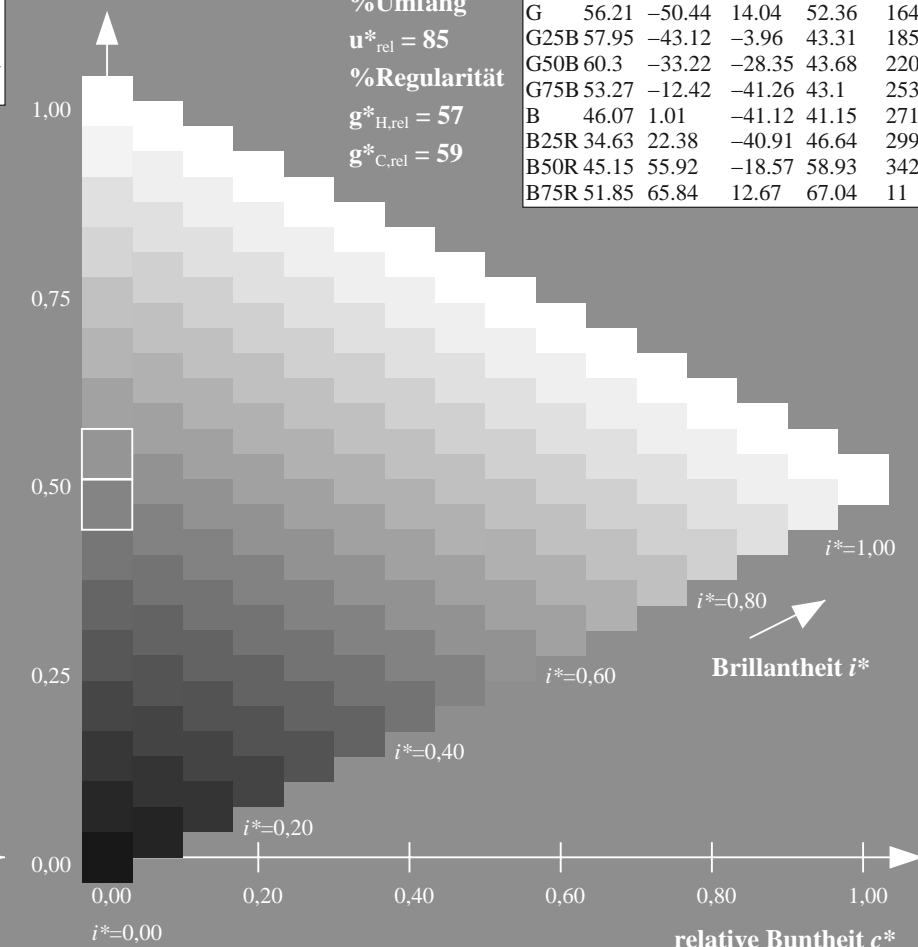
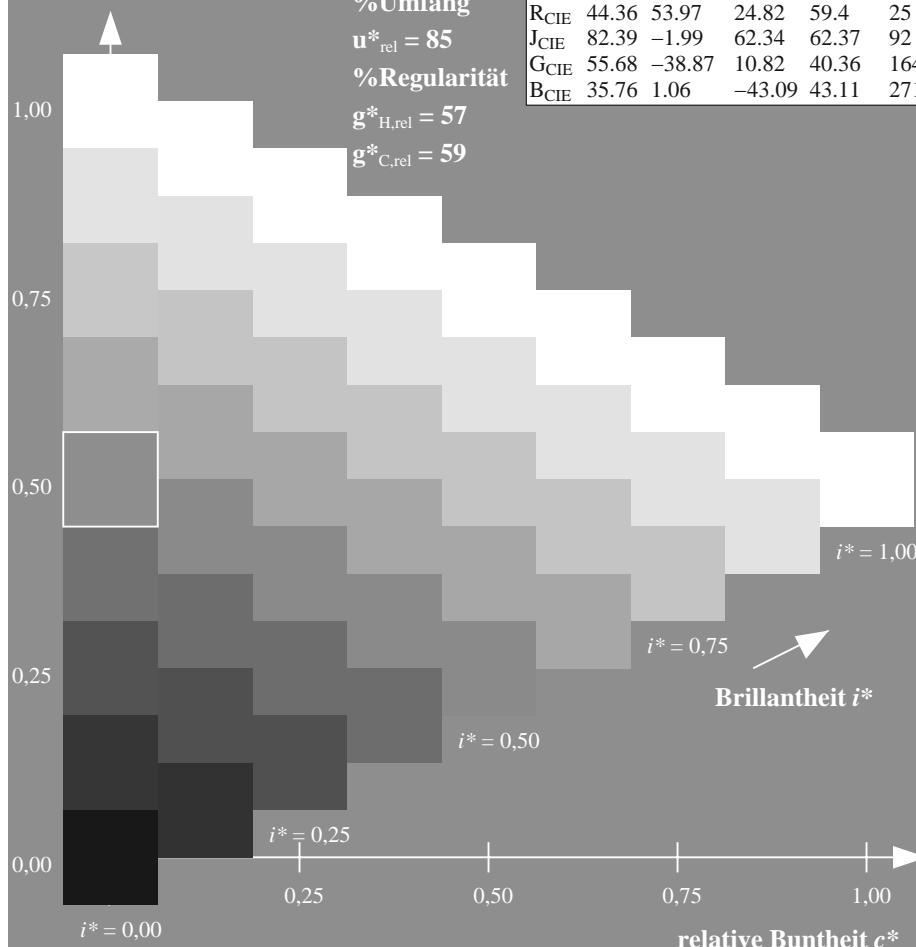
%Umfang

$u^*_{rel} = 85$

%Regularität

$g^*_{H,rel} = 57$

$g^*_{C,rel} = 59$



ZG910-7F, 9stufige Reihen für konstanten CIELAB Buntton 92/360 = 0.255 (links)

Seite 22/24

ZG910-7F, 16stufige Reihen für konstanten CIELAB Buntton 92/360 = 0.255 (rechts)

n*

BAM-Prüfvorlage ZG91; Farbmétrik-Systeme, Seite 22/24 Eingabe: $rgb / cmy0$ set($rgb/cmyk$)color

D65: 9 und 16stufige Farbreihen für 4 Elementar-Bunttöne Ausgabe: $\rightarrow LAB^* \rightarrow cmy5^* setcmykcolo$

Eingabe: Farbmétrisches Offset-Reflektiv-System ORS18

für Buntton $h^* = lab^*h = 164/360 = 0.457$

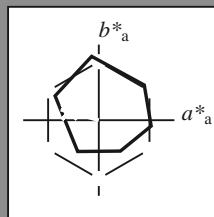
lab^*tch und lab^*nch

D65: Buntton G

LCH*Ma: 56 52 164

olv*Ma: 0.0 1.0 0.25

Dreiecks-Helligkeit t^*



%Umfang

$u^*_{rel} = 85$

%Regularität

$g^*_{H,rel} = 57$

$g^*_{C,rel} = 59$

ORS18; adaptierte CIELAB-Daten

	$L^*=L^*_a$	a^*_a	b^*_a	$C^*_{ab,a}$	$h^*_{ab,a}$
O _{Ma}	51.74	60.16	46.48	76.02	38
Y _{Ma}	90.77	-9.44	84.41	84.94	96
L _{Ma}	54.46	-57.8	32.16	66.15	151
C _{Ma}	61.56	-27.91	-41.41	49.95	236
V _{Ma}	31.3	28.61	-40.85	49.88	305
M _{Ma}	51.91	69.26	-7.69	69.68	354
N _{Ma}	24.2	0.0	0.0	0.0	0
W _{Ma}	95.41	0.0	0.0	0.0	0
R _{CIE}	44.36	53.97	24.82	59.4	25
J _{CIE}	82.39	-1.99	62.34	62.37	92
G _{CIE}	55.68	-38.87	10.82	40.36	164
B _{CIE}	35.76	1.06	-43.09	43.11	271

Ausgabe: Farbmétrisches Offset-Reflektiv-System ORS18

für Buntton $h^* = lab^*h = 164/360 = 0.457$

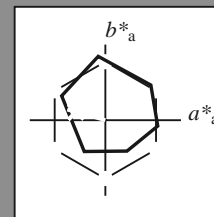
lab^*tch und lab^*nch

D65: Buntton G

LCH*Ma: 56 52 164

olv*Ma: 0.0 1.0 0.25

Dreiecks-Helligkeit t^*



%Umfang

$u^*_{rel} = 85$

%Regularität

$g^*_{H,rel} = 57$

$g^*_{C,rel} = 59$

ORS18; adaptierte CIELAB-Daten

	$L^*=L^*_a$	a^*_a	b^*_a	$C^*_{ab,a}$	$h^*_{ab,a}$
R	51.79	63.09	29.02	69.44	25
R25J	53.73	56.6	48.42	74.48	41
R50J	65.47	35.67	59.82	69.65	59
R75J	76.51	15.98	70.55	72.34	77
J	86.93	-2.58	80.67	80.71	92
J25G	84.92	-17.23	75.99	77.92	103
J50G	73.11	-32.96	59.0	67.58	119
J75G	60.06	-50.34	40.22	64.44	141
G	56.21	-50.44	14.04	52.36	164
G25B	57.95	-43.12	-3.96	43.31	185
G50B	60.3	-33.22	-28.35	43.68	220
G75B	53.27	-12.42	-41.26	43.1	253
B	46.07	1.01	-41.12	41.15	271
B25R	34.63	22.38	-40.91	46.64	299
B50R	45.15	55.92	-18.57	58.93	342
B75R	51.85	65.84	12.67	67.04	11

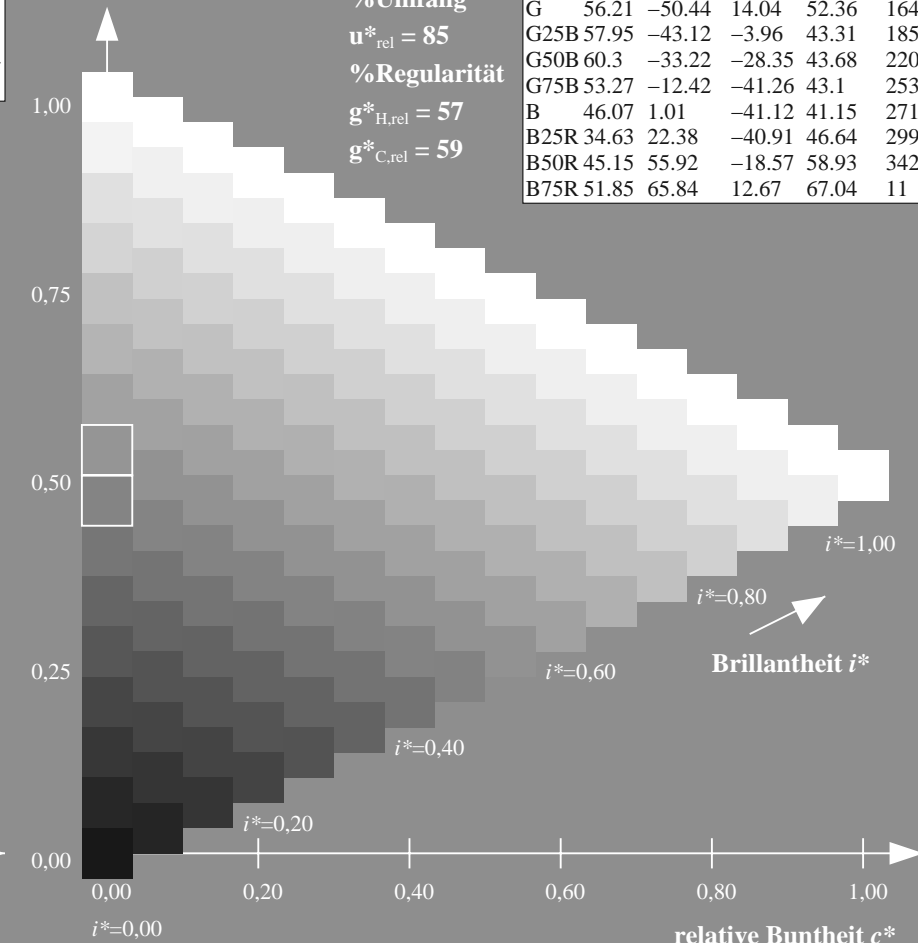
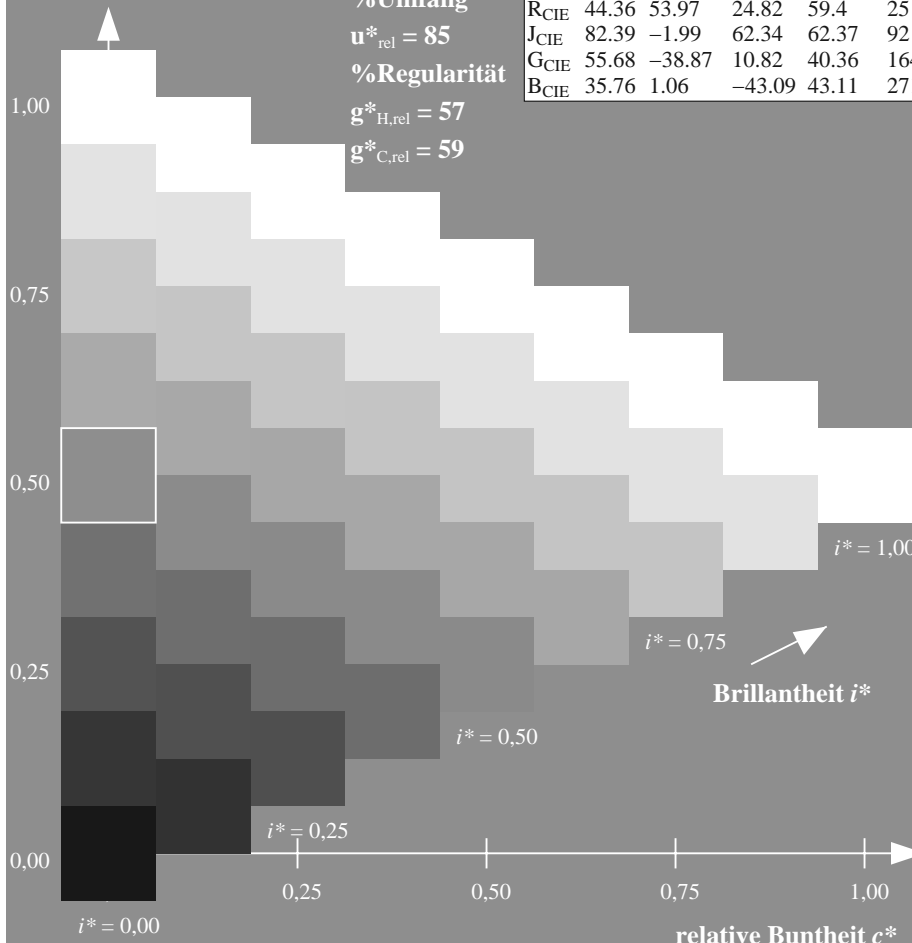
%Umfang

$u^*_{rel} = 85$

%Regularität

$g^*_{H,rel} = 57$

$g^*_{C,rel} = 59$



ZG910-7F, 9stufige Reihen für konstanten CIELAB Buntton 164/360 = 0.457 (links) Seite 23/24

ZG910-7F, 16stufige Reihen für konstanten CIELAB Buntton 164/360 = 0.457 (rechts) n*

BAM-Prüfvorlage ZG91; Farbmétrische Systeme, Seite 23/24 Eingabe: $rgb / cmy0$ set($rgb/cmyk$)color

D65: 9 und 16stufige Farbreihen für 4 Elementar-Bunttöne Ausgabe: $\rightarrow LAB^* \rightarrow cmy5^* setcmykcolo$

Eingabe: Farbmétrisches Offset-Reflektiv-System ORS18

für Buntton $h^* = lab^*h = 271/360 = 0.754$

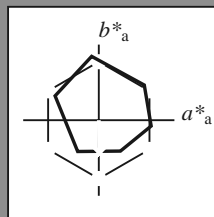
lab^*tch und lab^*nch

D65: Buntton B

LCH*Ma: 46 41 271

olv*Ma: 0.0 0.49 1.0

Dreiecks-Helligkeit t^*



%Umfang

$u^*_{rel} = 85$

%Regularität

$g^*_{H,rel} = 57$

$g^*_{C,rel} = 59$

ORS18; adaptierte CIELAB-Daten

	$L^*=L^*_a$	a^*_a	b^*_a	$C^*_{ab,a}$	$h^*_{ab,a}$
O _{Ma}	51.74	60.16	46.48	76.02	38
Y _{Ma}	90.77	-9.44	84.41	84.94	96
L _{Ma}	54.46	-57.8	32.16	66.15	151
C _{Ma}	61.56	-27.91	-41.41	49.95	236
V _{Ma}	31.3	28.61	-40.85	49.88	305
M _{Ma}	51.91	69.26	-7.69	69.68	354
N _{Ma}	24.2	0.0	0.0	0.0	0
W _{Ma}	95.41	0.0	0.0	0.0	0
R _{CIE}	44.36	53.97	24.82	59.4	25
J _{CIE}	82.39	-1.99	62.34	62.37	92
G _{CIE}	55.68	-38.87	10.82	40.36	164
B _{CIE}	35.76	1.06	-43.09	43.11	271

Ausgabe: Farbmétrisches Offset-Reflektiv-System ORS18

für Buntton $h^* = lab^*h = 271/360 = 0.754$

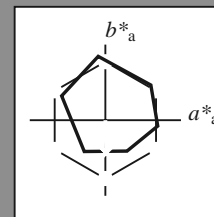
lab^*tch und lab^*nch

D65: Buntton B

LCH*Ma: 46 41 271

olv*Ma: 0.0 0.49 1.0

Dreiecks-Helligkeit t^*



%Umfang

$u^*_{rel} = 85$

%Regularität

$g^*_{H,rel} = 57$

$g^*_{C,rel} = 59$

ORS18; adaptierte CIELAB-Daten

	$L^*=L^*_a$	a^*_a	b^*_a	$C^*_{ab,a}$	$h^*_{ab,a}$
R	51.79	63.09	29.02	69.44	25
R25J	53.73	56.6	48.42	74.48	41
R50J	65.47	35.67	59.82	69.65	59
R75J	76.51	15.98	70.55	72.34	77
J	86.93	-2.58	80.67	80.71	92
J25G	84.92	-17.23	75.99	77.92	103
J50G	73.11	-32.96	59.0	67.58	119
J75G	60.06	-50.34	40.22	64.44	141
G	56.21	-50.44	14.04	52.36	164
G25B	57.95	-43.12	-3.96	43.31	185
G50B	60.3	-33.22	-28.35	43.68	220
G75B	53.27	-12.42	-41.26	43.1	253
B	46.07	1.01	-41.12	41.15	271
B25R	34.63	22.38	-40.91	46.64	299
B50R	45.15	55.92	-18.57	58.93	342
B75R	51.85	65.84	12.67	67.04	11

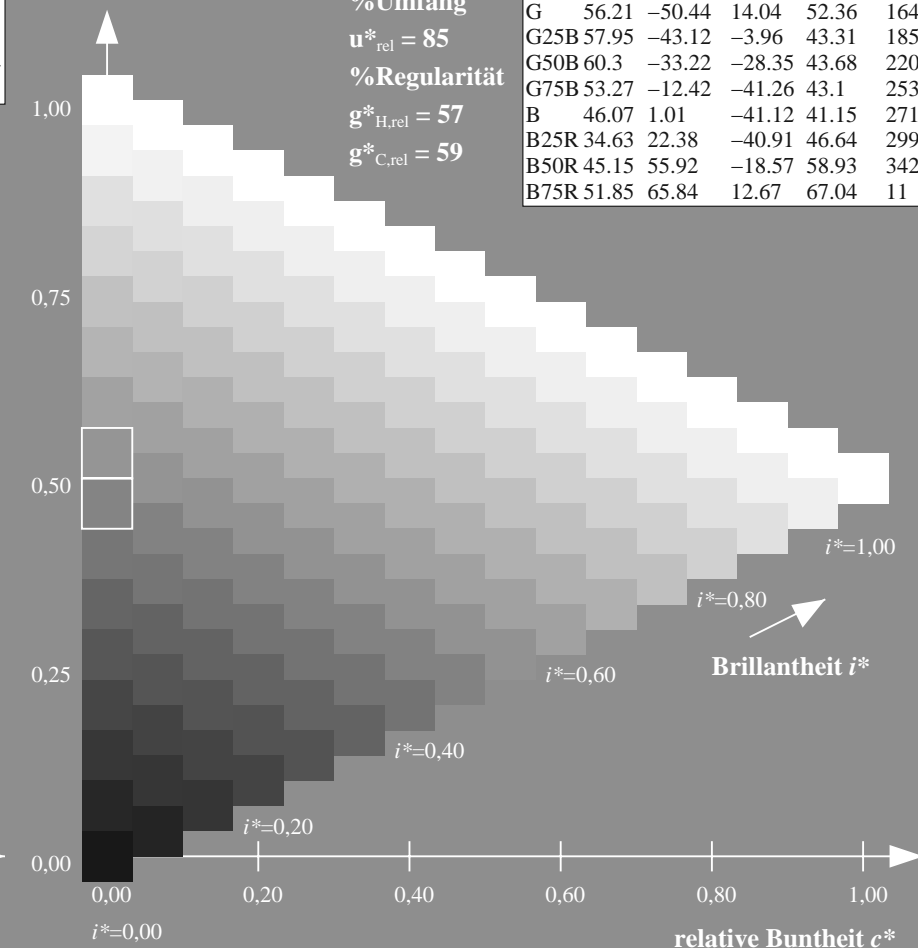
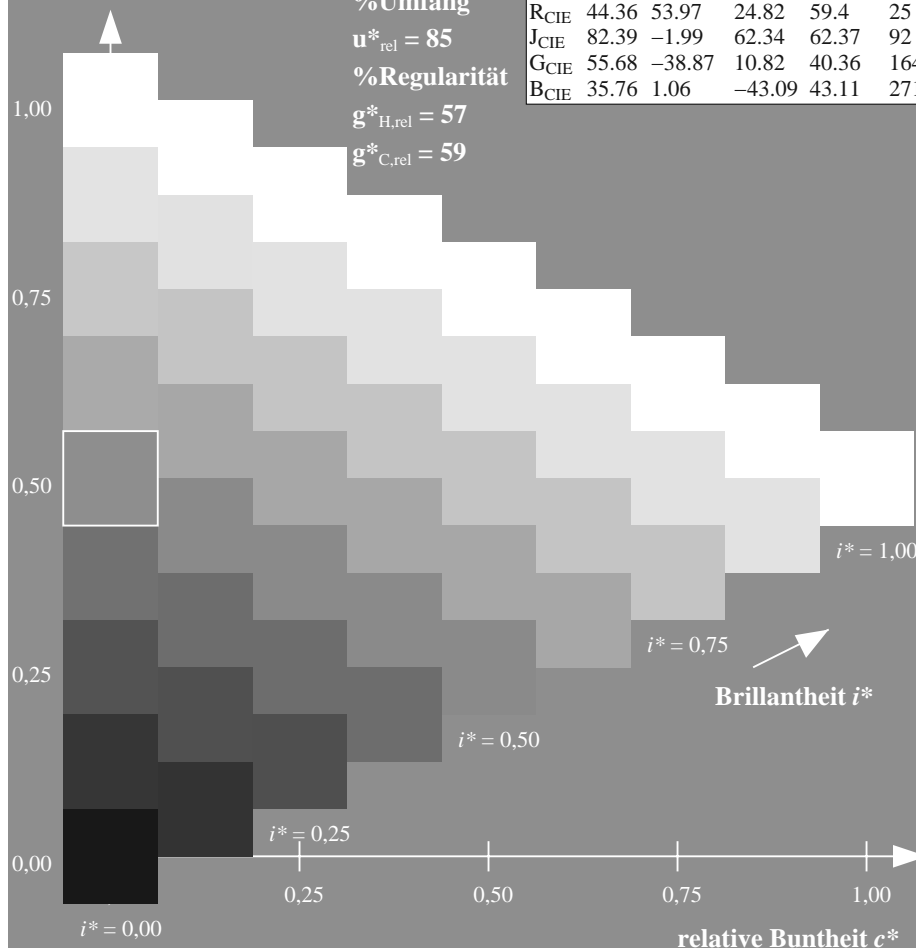
%Umfang

$u^*_{rel} = 85$

%Regularität

$g^*_{H,rel} = 57$

$g^*_{C,rel} = 59$



ZG910-7F, 9stufige Reihen für konstanten CIELAB Buntton 271/360 = 0.754 (links) Seite 24/24

ZG910-7F, 16stufige Reihen für konstanten CIELAB Buntton 271/360 = 0.754 (rechts)

BAM-Prüfvorlage ZG91; Farbmétrik-Systeme, Seite 24/24 Eingabe: $rgb / cmy0$ set($rgb/cmyk$)color

D65: 9 und 16stufige Farbreihen für 4 Elementar-Bunttöne Ausgabe: $\rightarrow LAB^* \rightarrow cmy5^* setcmykcolo$